

Matériaux chalcogénures à base de tellure : relation structure/propriétés

A. Piarristeguy, R. Escalier, M. Ribes, A. Pradel

*Institut Charles Gerhardt Montpellier, Équipe Chalcogénures et Verres,
CC1503, Université Montpellier 2, Pl. E. Bataillon, F-34095 Montpellier cedex 5, France*

P. Jovari

Research Institute for Solid State Physics and Optics, H-1525 Budapest, POB 49, Hungary

Verres chalcogénures

IIIa	IVa	Va	VIa	VIIa	O
5 B	6 C	7 N	8 O	9 F	2 He
13 Al	14 Si	15 P	16 S	17 Cl	18 Ar
31 Ga	32 Ge	33 As	34 Se	35 Br	36 Kr
49 In	50 Sn	51 Sb	52 Te	53 I	54 Xe
81 Tl	82 Pb	83 Bi	84 Po	85 At	86 Rn

Transparents dans l'infrarouge

Semi-conducteurs

Conductivités ioniques élevées quand ils sont dopés par des ions alcalins ou argent

Modifications structurales marquées (effet Ovshinsky) quand ils sont soumis à des stimuli énergétiques

Verres chalcogénures : Sulfures/Séléniums vs. Tellurures

IVa	Va	VIa	VIIa
6 C	7 N	8 O	9 F
14 Si	15 P	16 S	17 Cl
32 Ge	33 As	34 Se	35 Br
50 Sn	51 Sb	52 Te	53 I
82 Pb	83 Bi	84 Po	85 At

} Verres sulfures et séléniures
} Verres tellurures

bP	B!	bO	AF
85	83	84	82
2u	2p	1g	1

- ➡ Domaine de vitrification
- ➡ Recristallisation de verres
- ➡ Ordre chimique

Verres chalcogénures : Sulfures/Séléniures vs. Tellurures

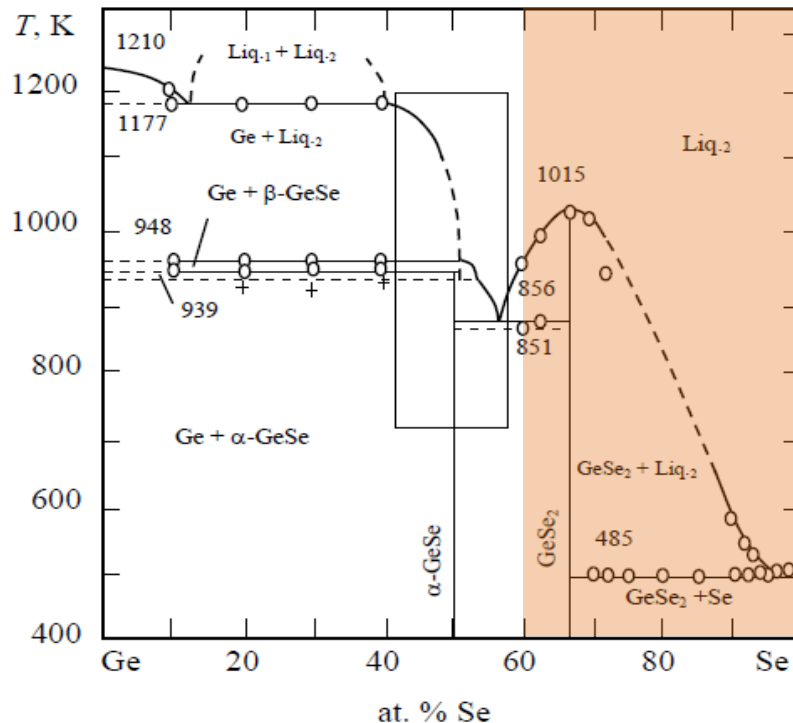
→ Domaine de vitrification



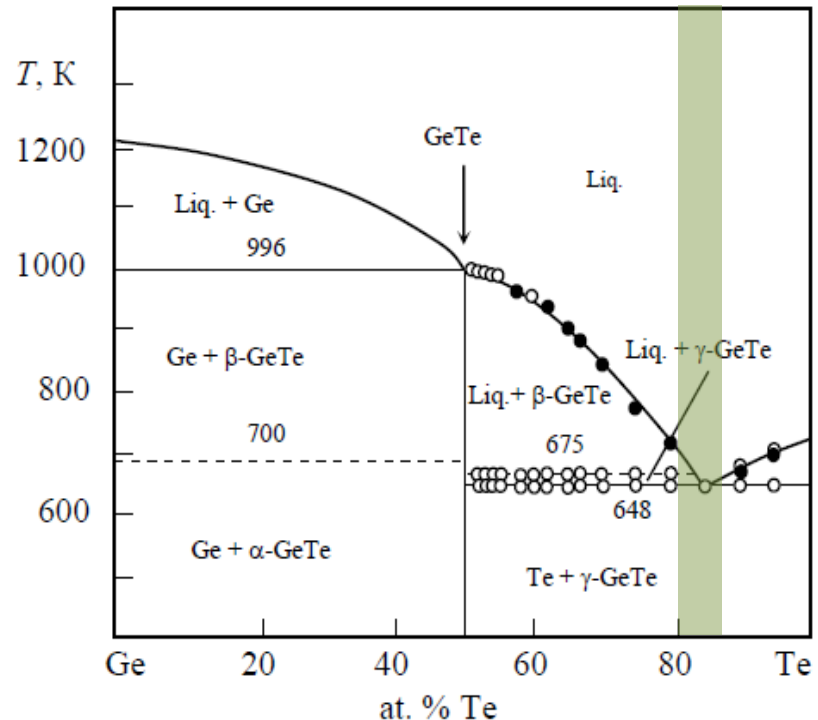
Elaboration par trempe classique



Système $\text{Ge}_x\text{Se}_{100-x}$



Système $\text{Ge}_x\text{Te}_{100-x}$

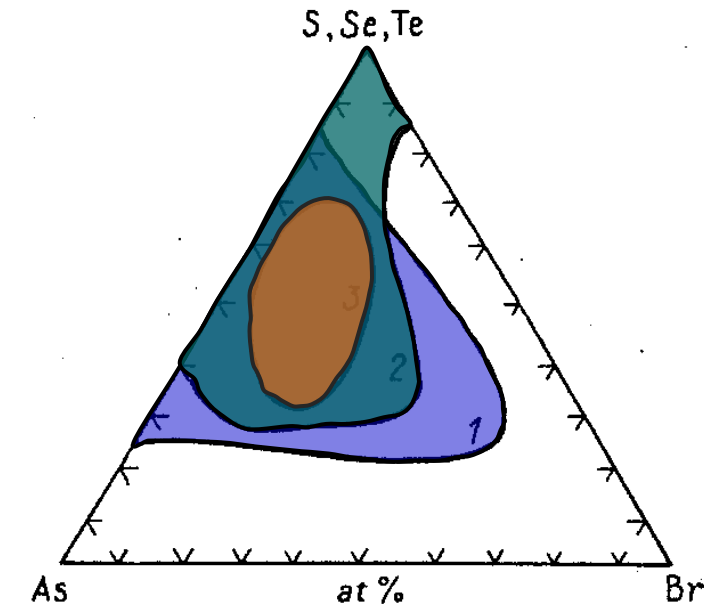
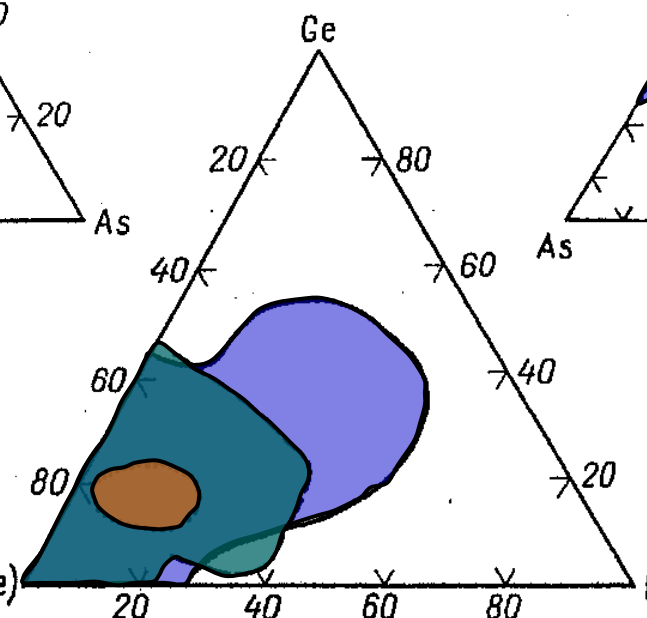
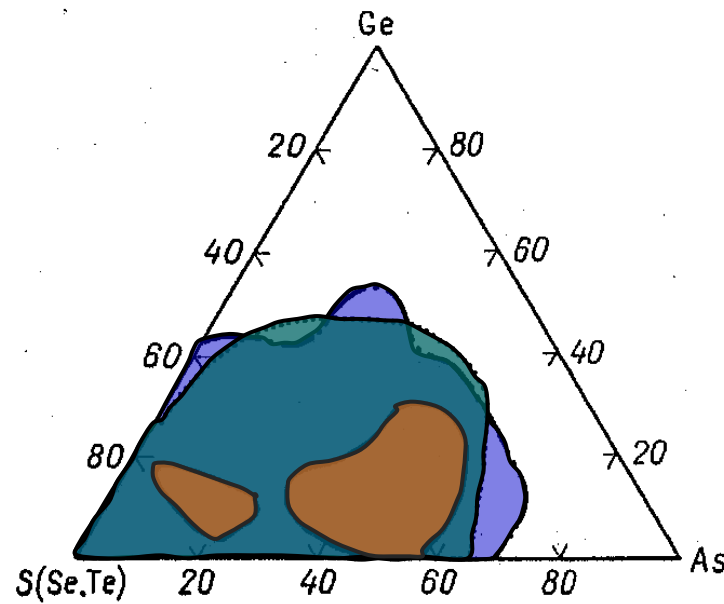


Verres chalcogénures : Sulfures/Séléniums vs. Tellurures

→ Domaine de vitrification



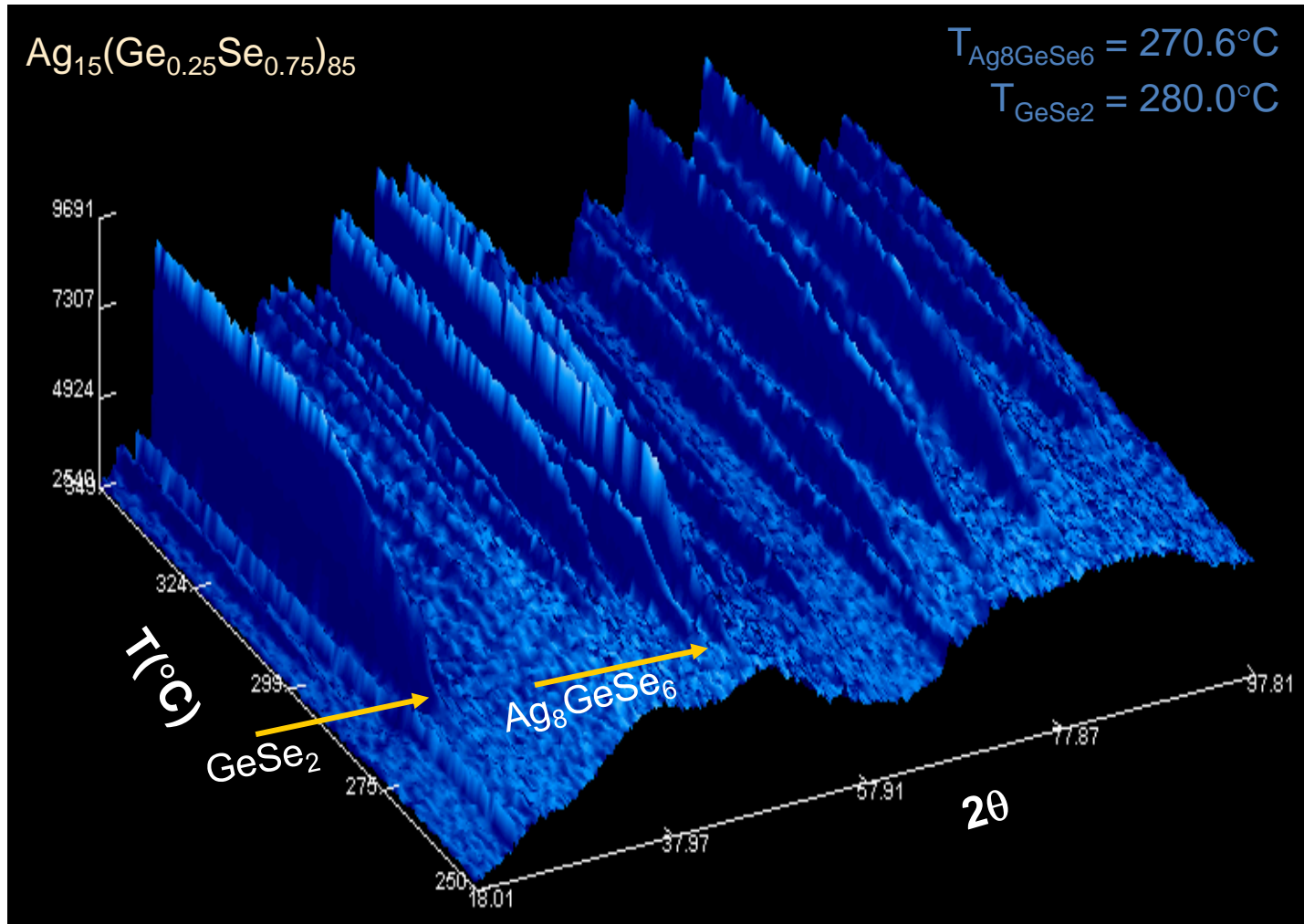
Elaboration par trempe classique



- Sulfures
- Séléniures
- Tellurates

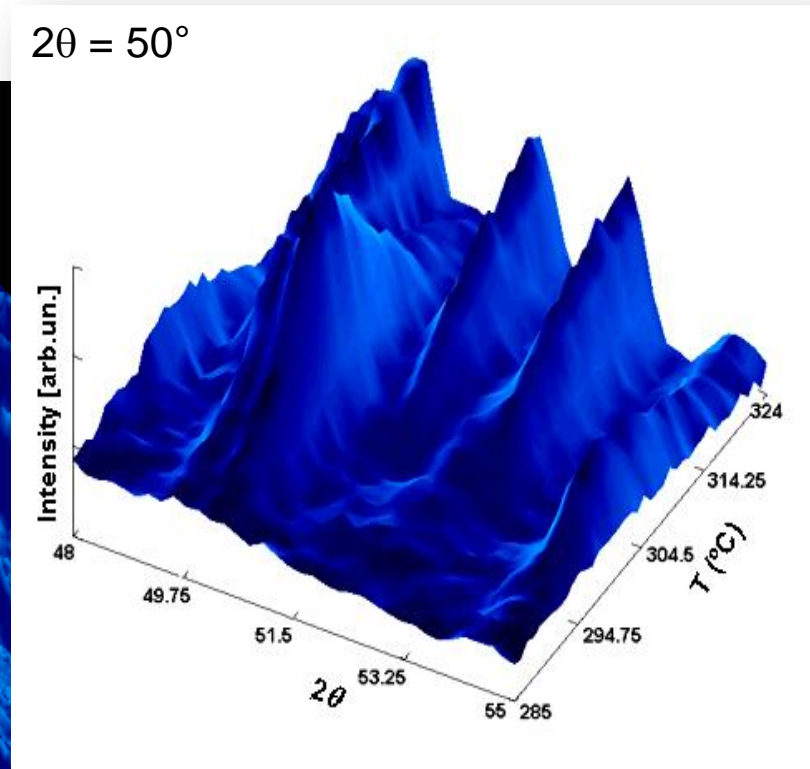
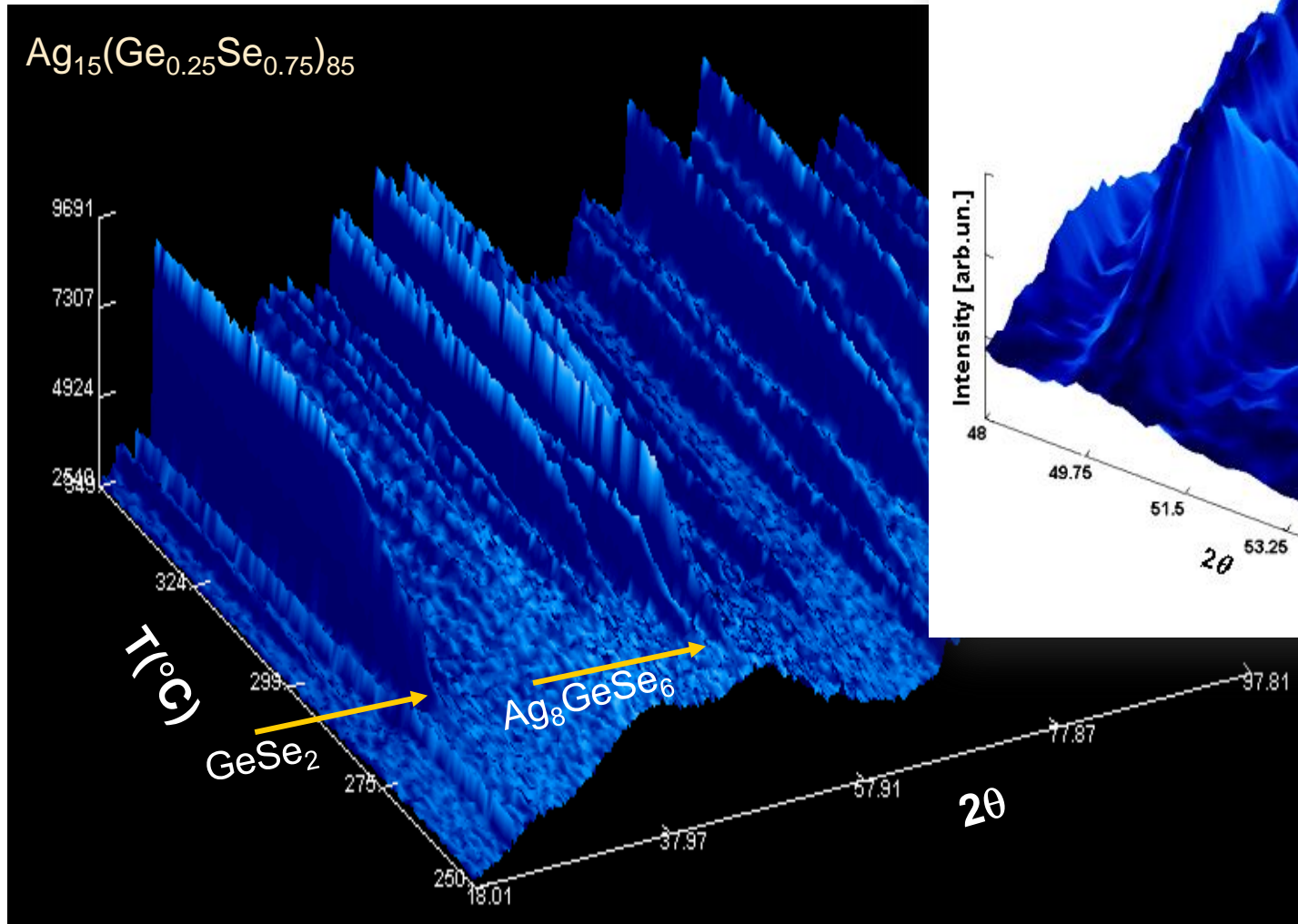
Verres chalcogénures : Sulfures/Sélénium vs. Tellurures

→ Recristallisation de verres



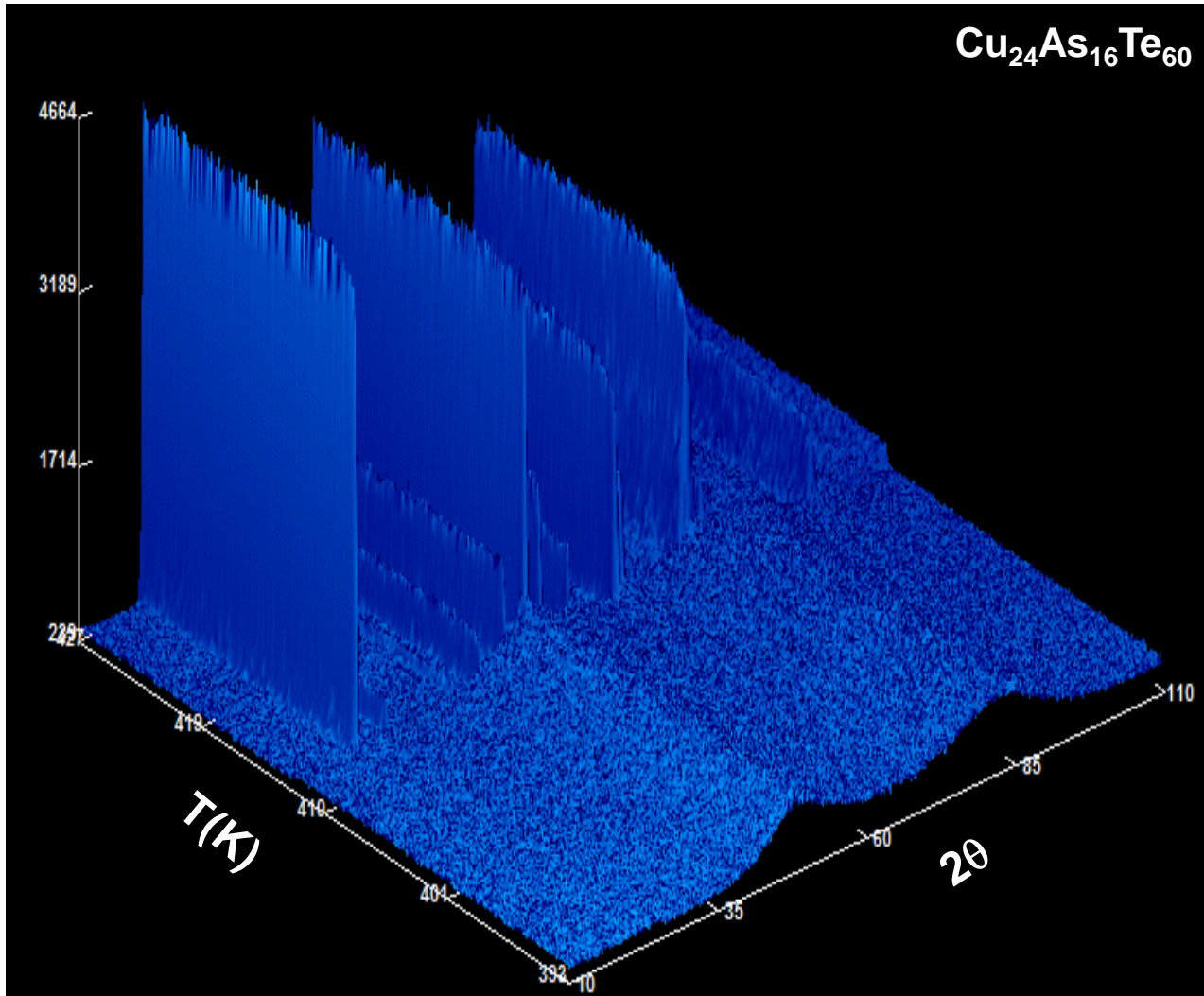
Verres chalcogénures : Sulfures/Sélénium vs. Tellurures

→ Recristallisation de verres



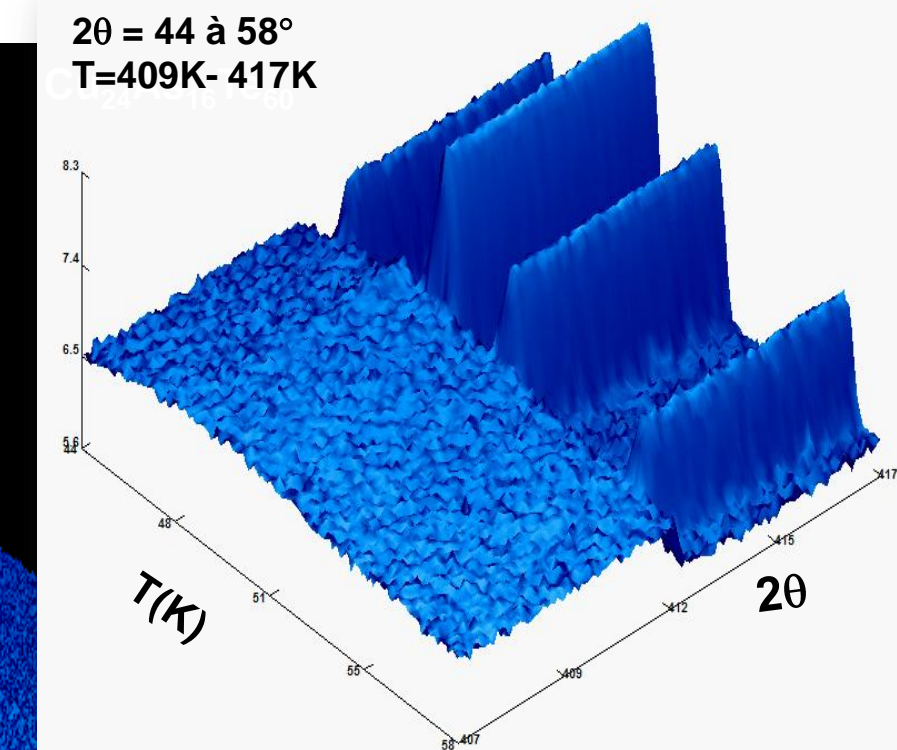
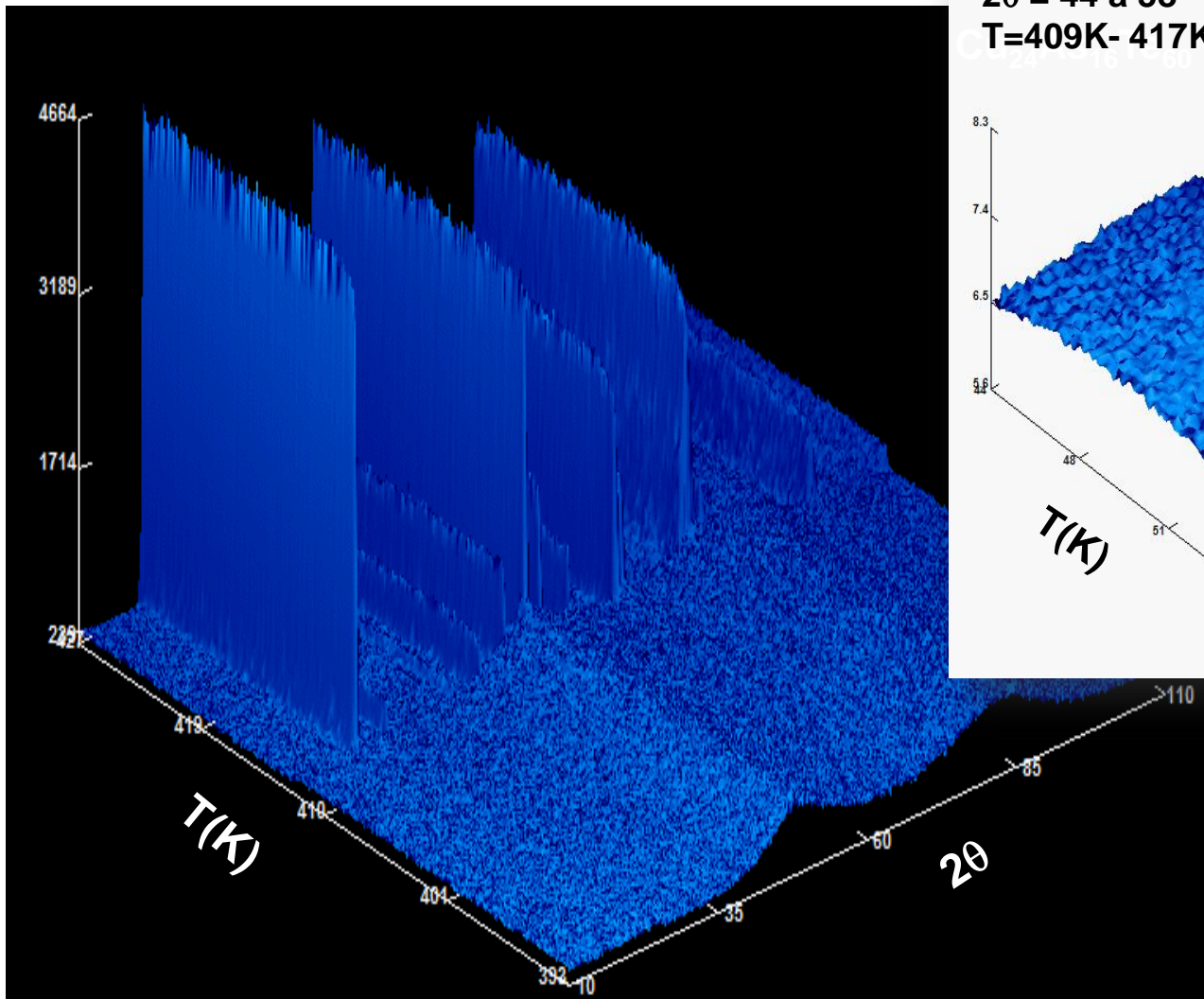
Verres chalcogénures : Sulfures/Séléniums vs. Tellurures

→ Recristallisation de verres



Verres chalcogénures : Sulfures/Sélénium vs. Tellurures

→ Recristallisation de verres

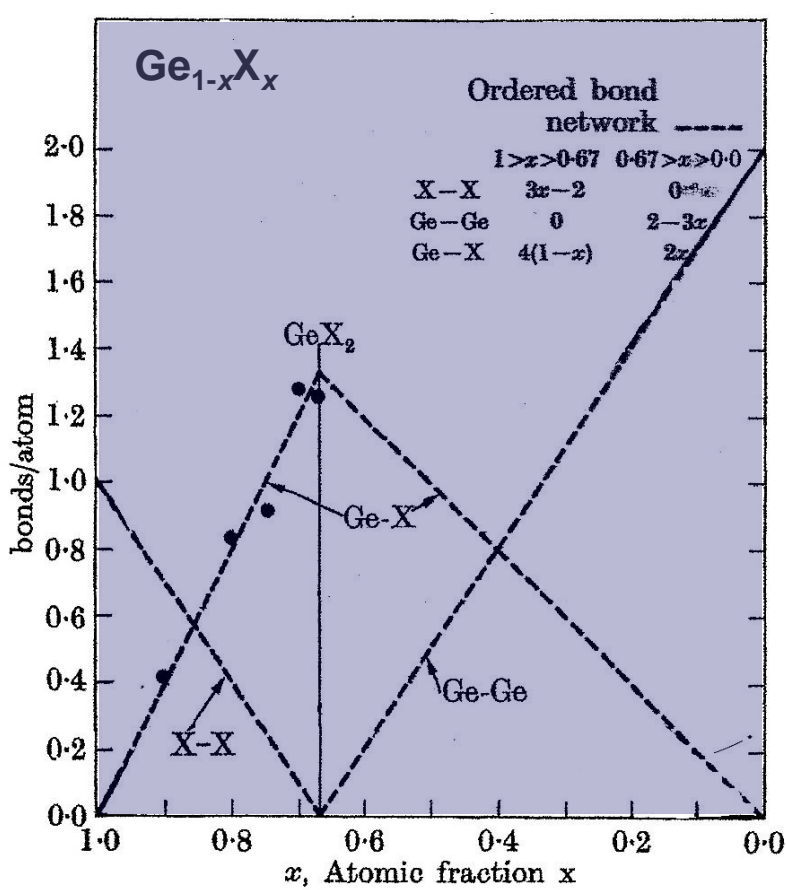


Verres chalcogénures : Sulfures/Selenures vs. Tellurures

→ Ordre chimique

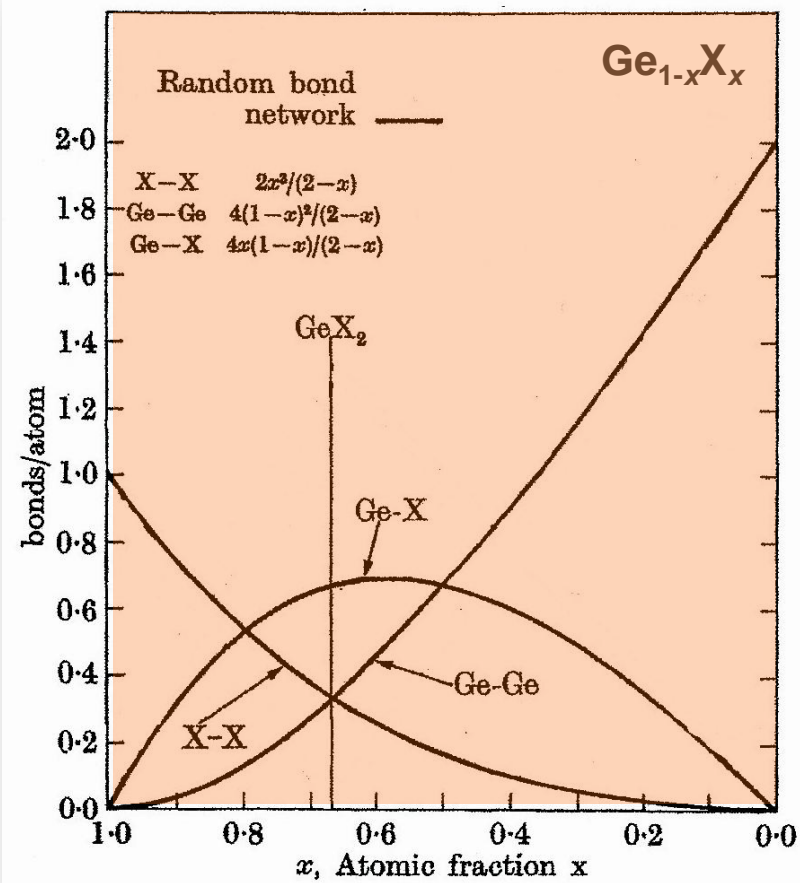
Ordre Chimique ordonné

Exemples: verres sulfures et séléniures, Ge-Sb-Te



Modèle aléatoire

Exemple: verres As-Te



Tellurures amorphes

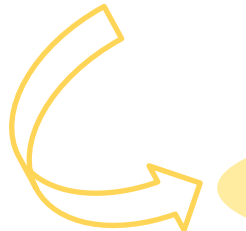
Applications

→ **Ge-Sb-Te** *matériau actif dans la technologie CD et DVD réinscriptible*

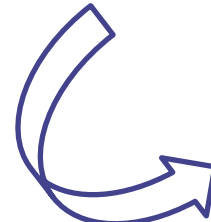
→ **Système Ge-Te dans la région riche en Te et systèmes Ge-Te-X (X=Ga, Se, I)**

Guides d'onde pour l'interférométrie spatiale ou pour la métrologie de l'environnement

→ **Ge-Te-Cu glasses** *Matériaux Thermoélectriques*



Amorphes $Ge_x Te_{100-x}$

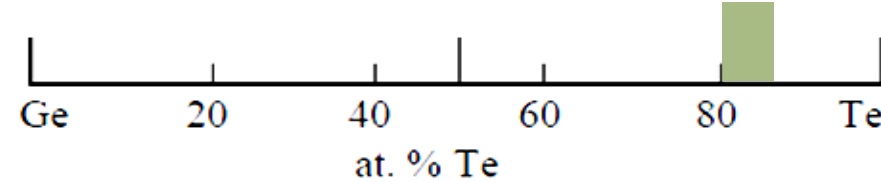


Relation entre la structure et les propriétés physico-chimiques des amorphes $Ge_x Te_{100-x}$ dans une large gamme de compositions

Elaboration des échantillons: Système $\text{Ge}_x\text{Te}_{100-x}$

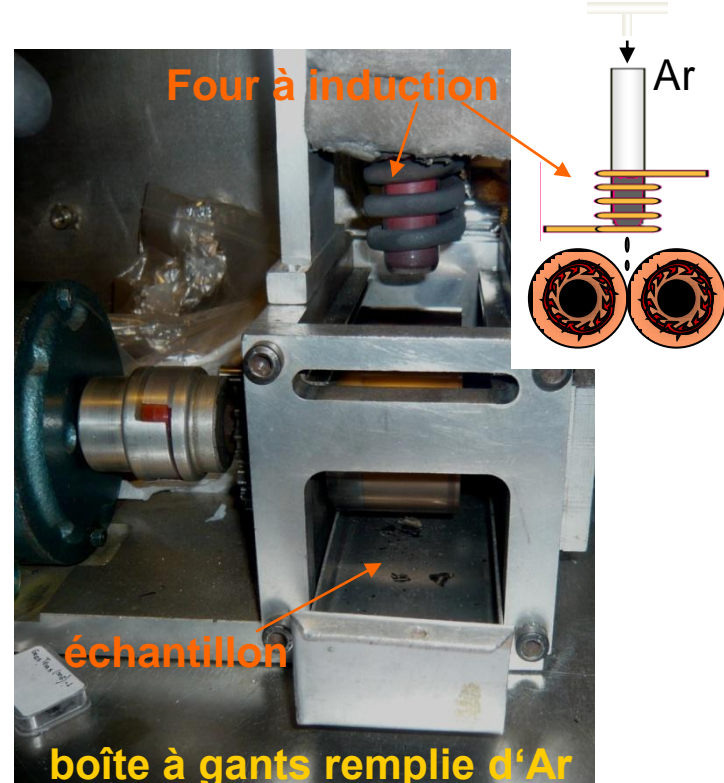
Verres massifs

→ Trempe classique

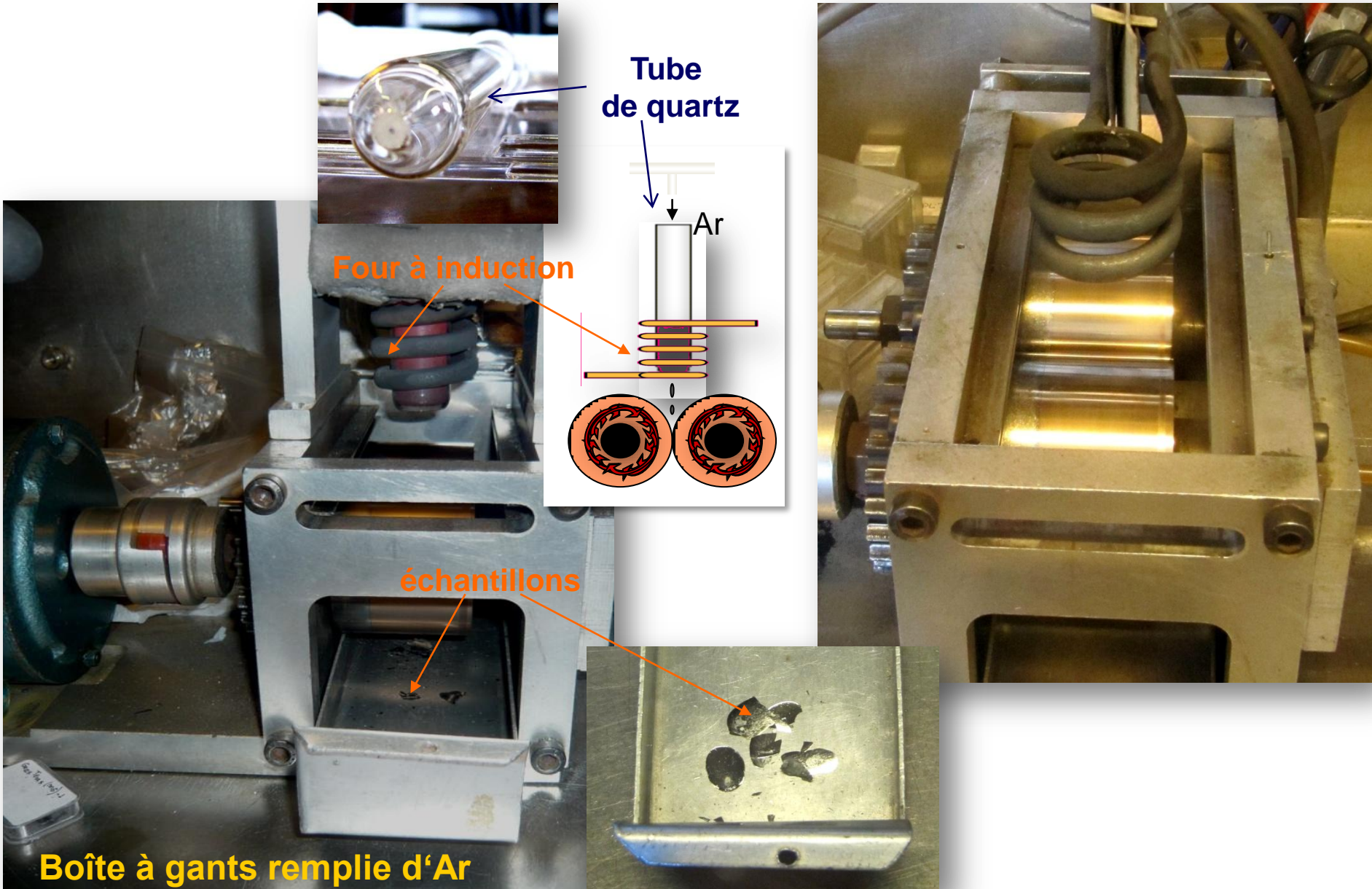


16 ≤ % at. Ge ≤ 20

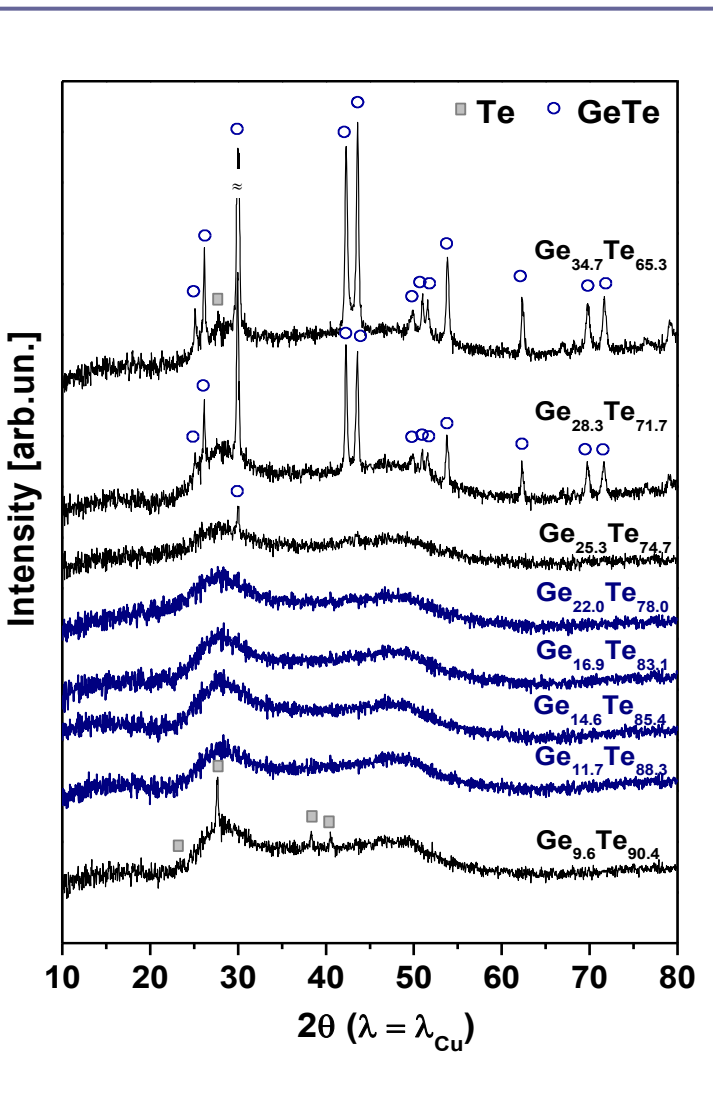
→ Ultratrempe entre deux rouleaux (*Twin Roller Quenching*)



Elaboration des échantillons: Système $\text{Ge}_x\text{Te}_{100-x}$

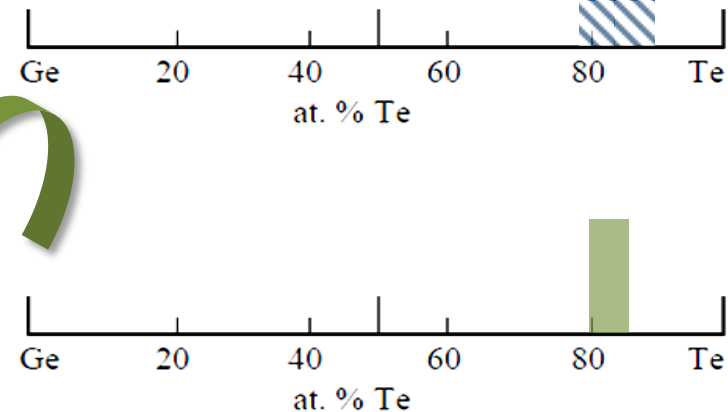


Ultratrempe vs. trempe classique



Domaine vitreux dans
le système $\text{Ge}_x\text{Te}_{100-x}$

Ultratrempe



Ge ~12-22 (% at.)

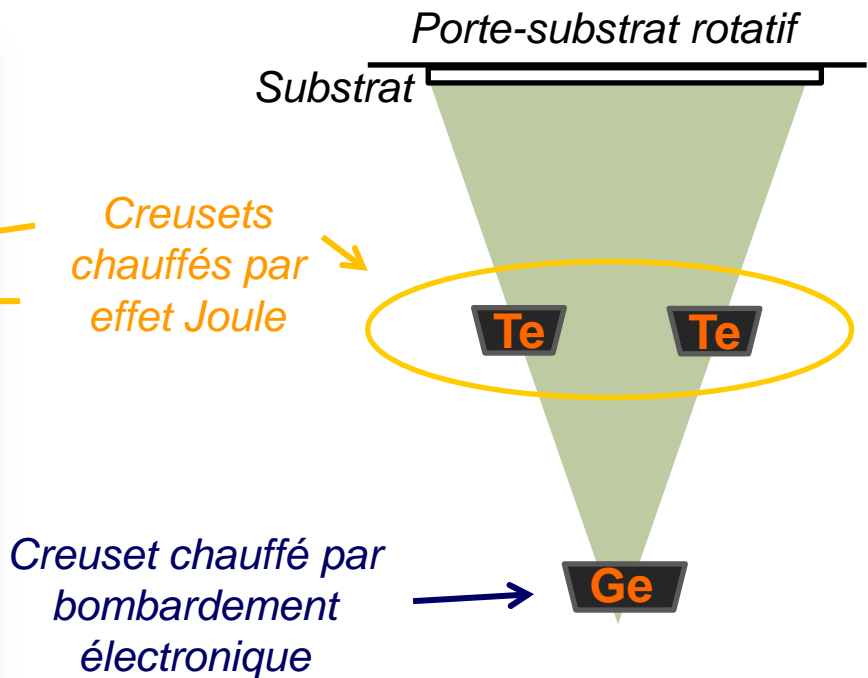
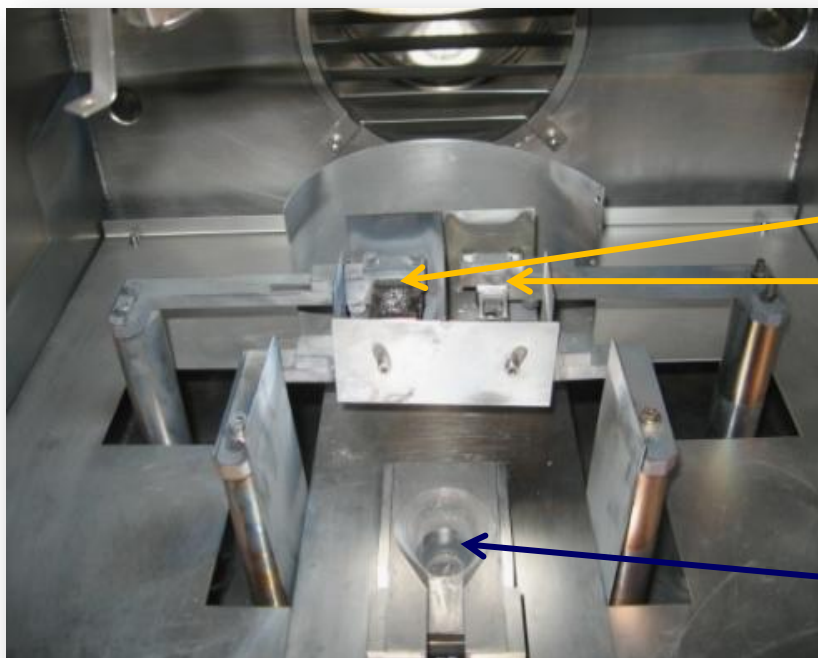
Ge ~16-20 (% at.)

Trempe classique

Elaboration des échantillons: Système Ge_xTe_{100-x}

✉ Couches amorphes

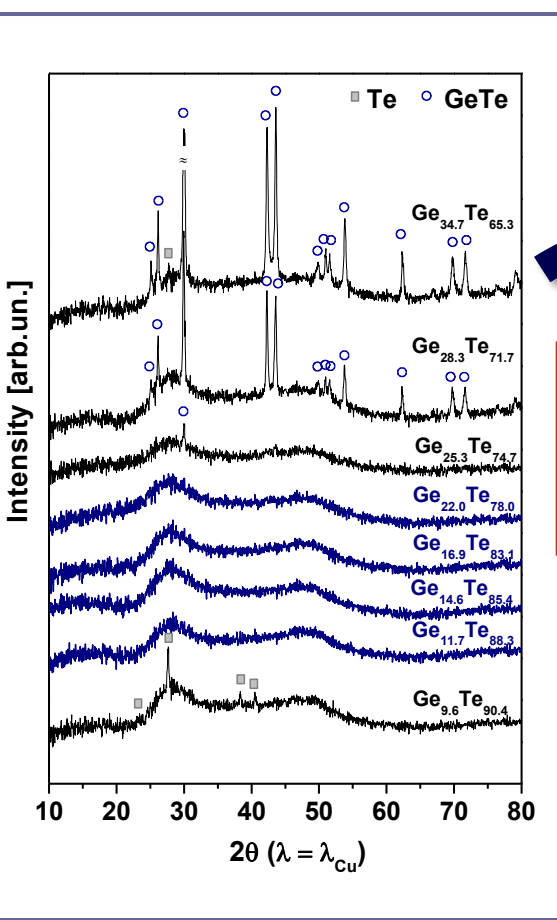
→ Co-évaporation thermique



→ Evaporation simultanée des éléments à partir de différentes sources.

→ Films homogènes en composition et en épaisseur obtenus de substrats de 4-4,5 cm de diamètre.

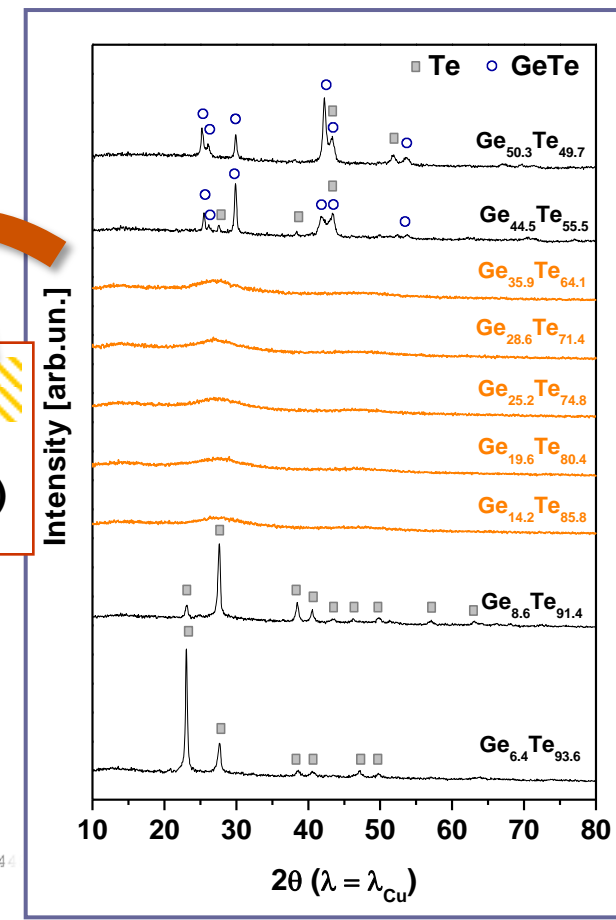
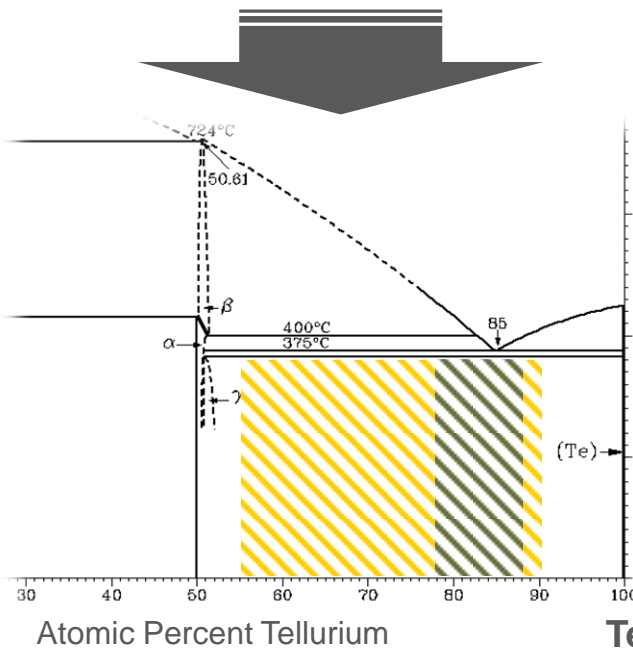
Ultratrempe vs. co-évaporation thermique



Domaine vitreux dans
le système $\text{Ge}_x\text{Te}_{100-x}$

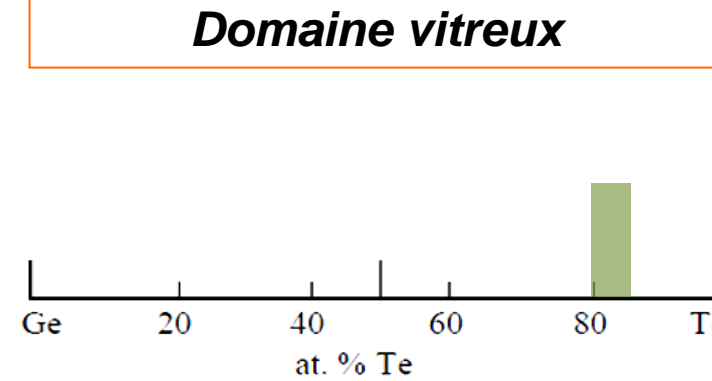
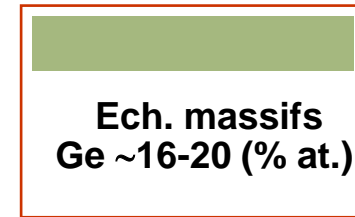
Feuilles
 $\text{Ge} \sim 12\text{-}22$ (% at.)

Films épais
 $\text{Ge} \sim 10\text{-}44$ (% at.)

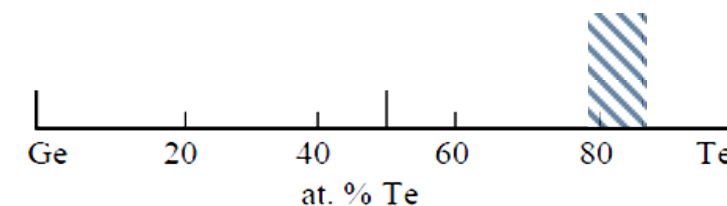
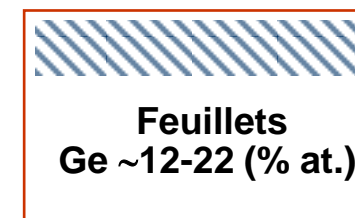


Elaboration des échantillons: Système $\text{Ge}_x\text{Te}_{100-x}$

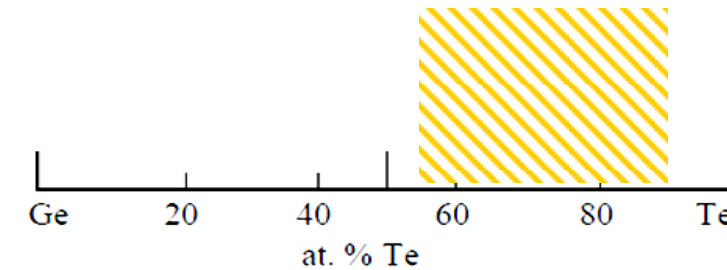
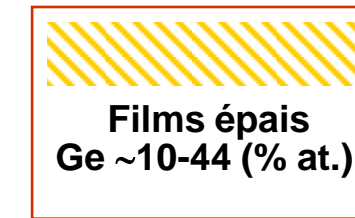
Trempe classique



Ultratrempe

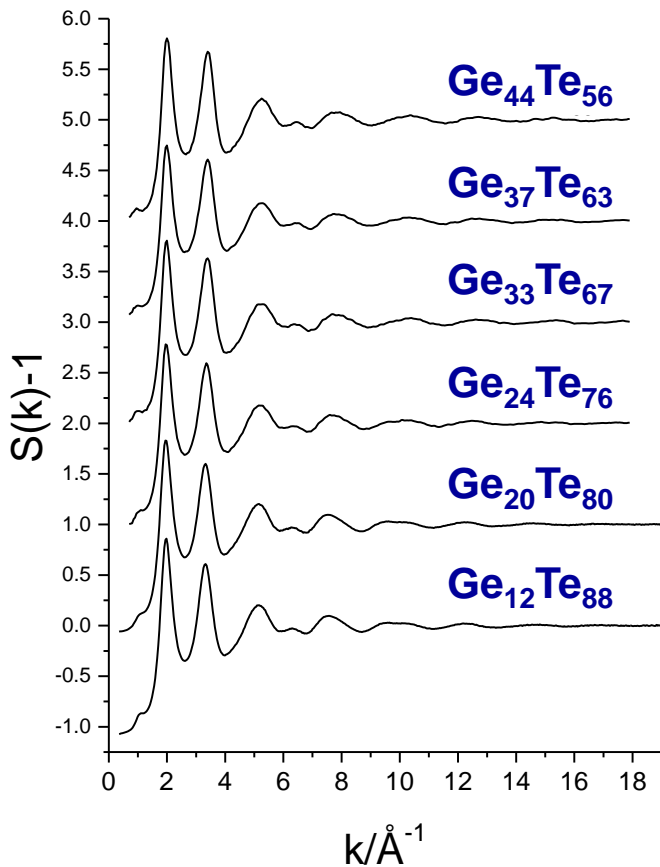


*Co-évaporation
thermique*

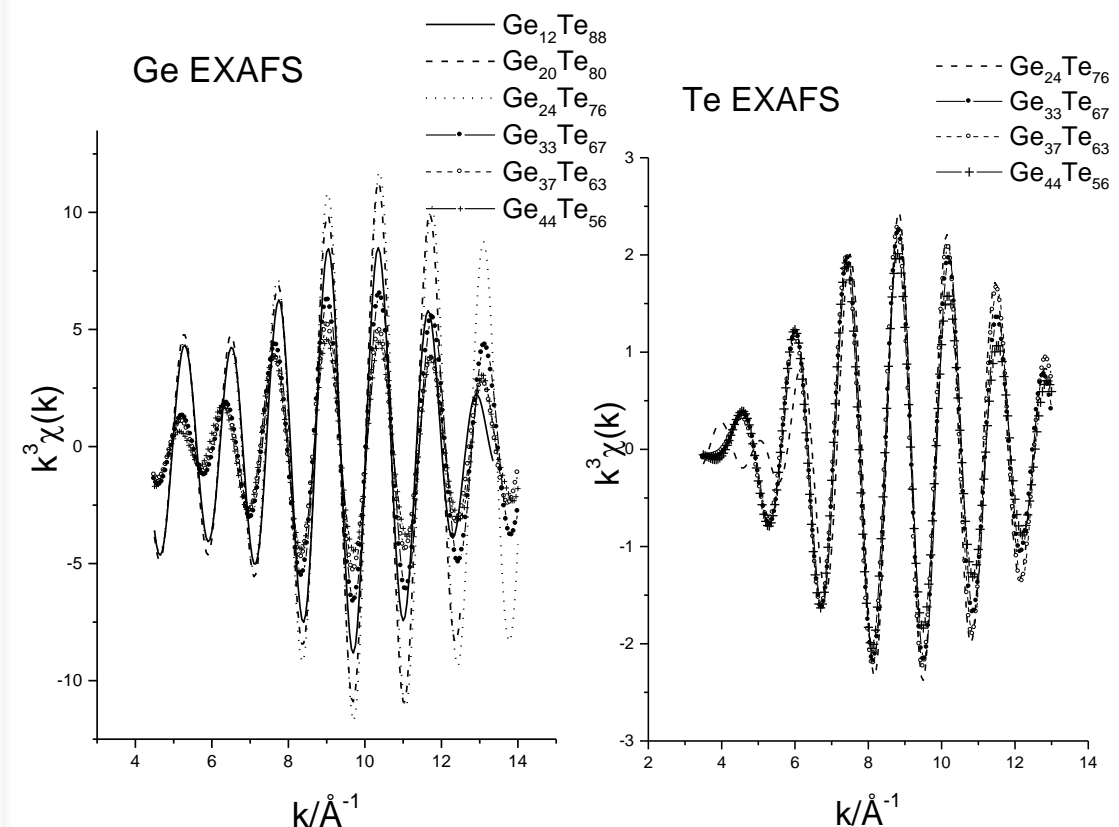


Co-évaporation thermique: Structure d'amorphes $\text{Ge}_x\text{Te}_{100-x}$

Diffraction des Rayons X



EXAFS



Les expériences de **diffraction des rayons X** et **EXAFS** ont été simultanément ajustées avec la technique de Reverse Monte Carlo ([new rmcpp code](#))

Collaboration avec Pal Jovari

Co-évaporation thermique: Structure d'amorphes $\text{Ge}_x\text{Te}_{100-x}$

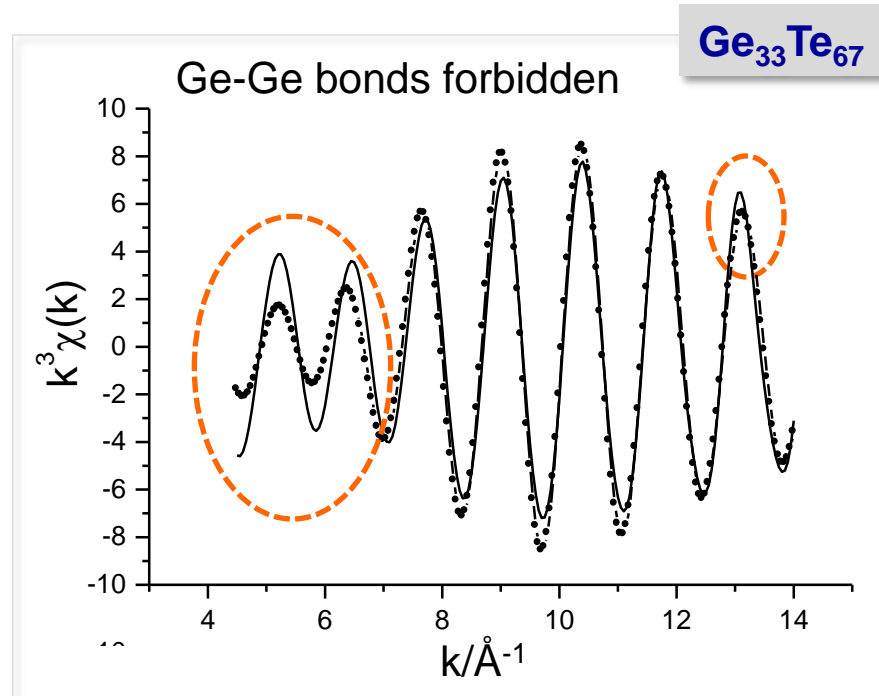
■ Simulation de Reverse Monte Carlo

Ordre Chimique ordonné

Exemple: GeSe_2

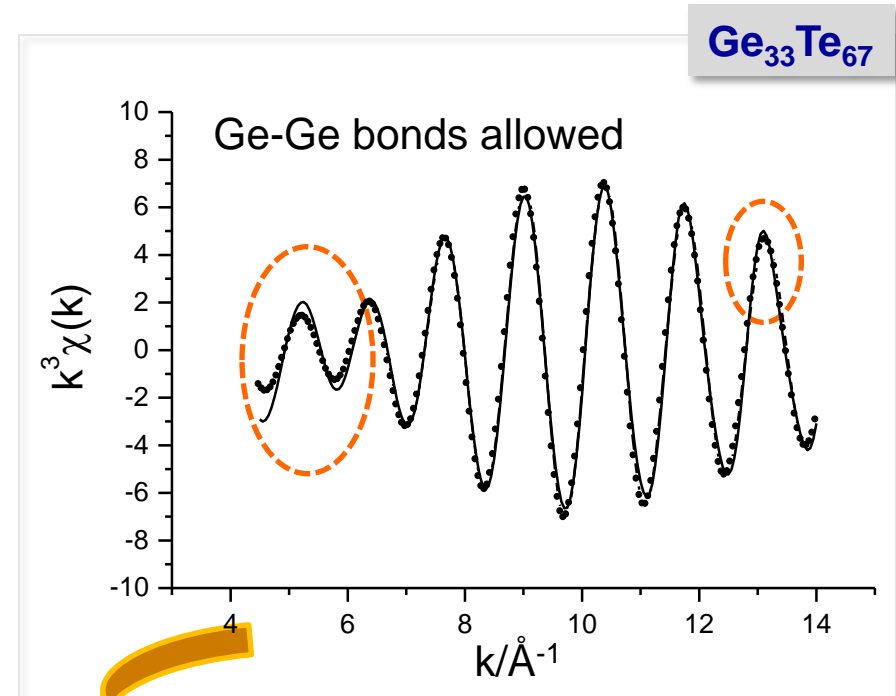


Minimisation de liaisons homopolaires



Modèle aléatoire

Exemple: AsTe



Meilleurs ajustements

Collaboration avec Pal Jovari

Co-évaporation thermique: Structure d'amorphes $\text{Ge}_x\text{Te}_{100-x}$

■ Simulation de Reverse Monte Carlo

→ Sans contrainte

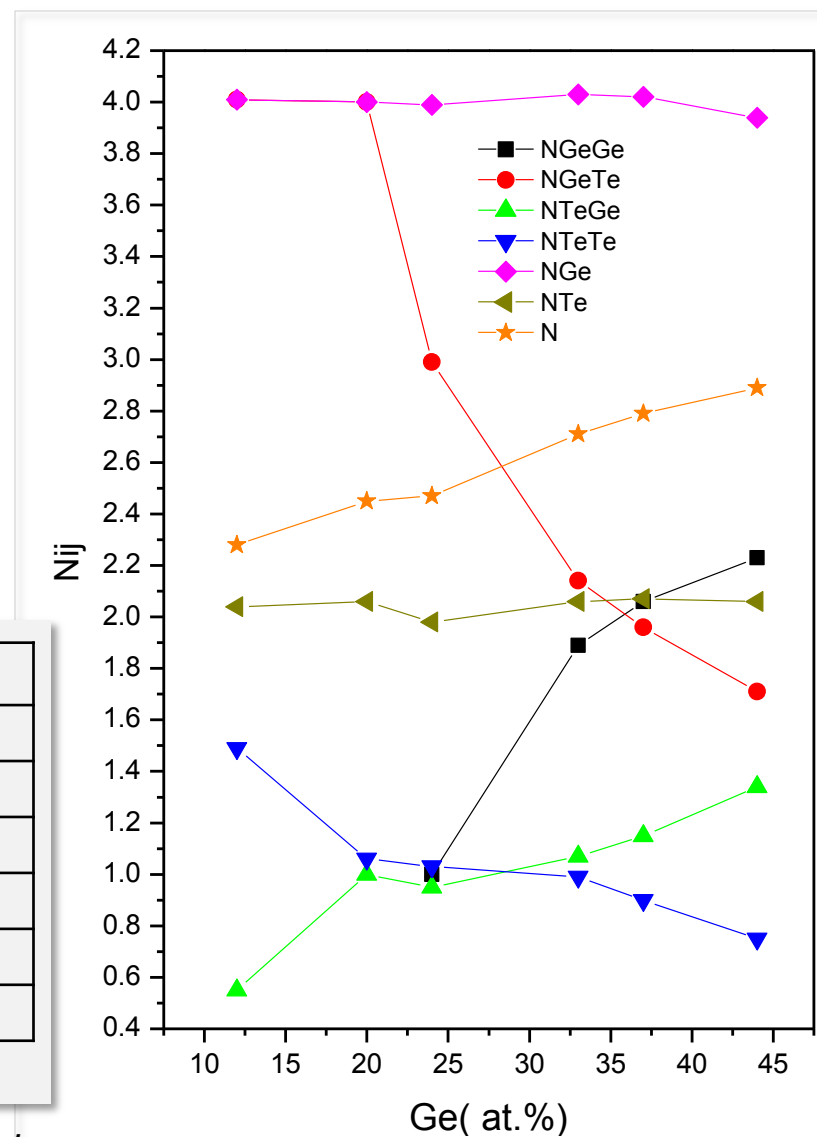


Nombre important de liaisons homopolaires Ge-Ge et Te-Te

Nombres de coordination

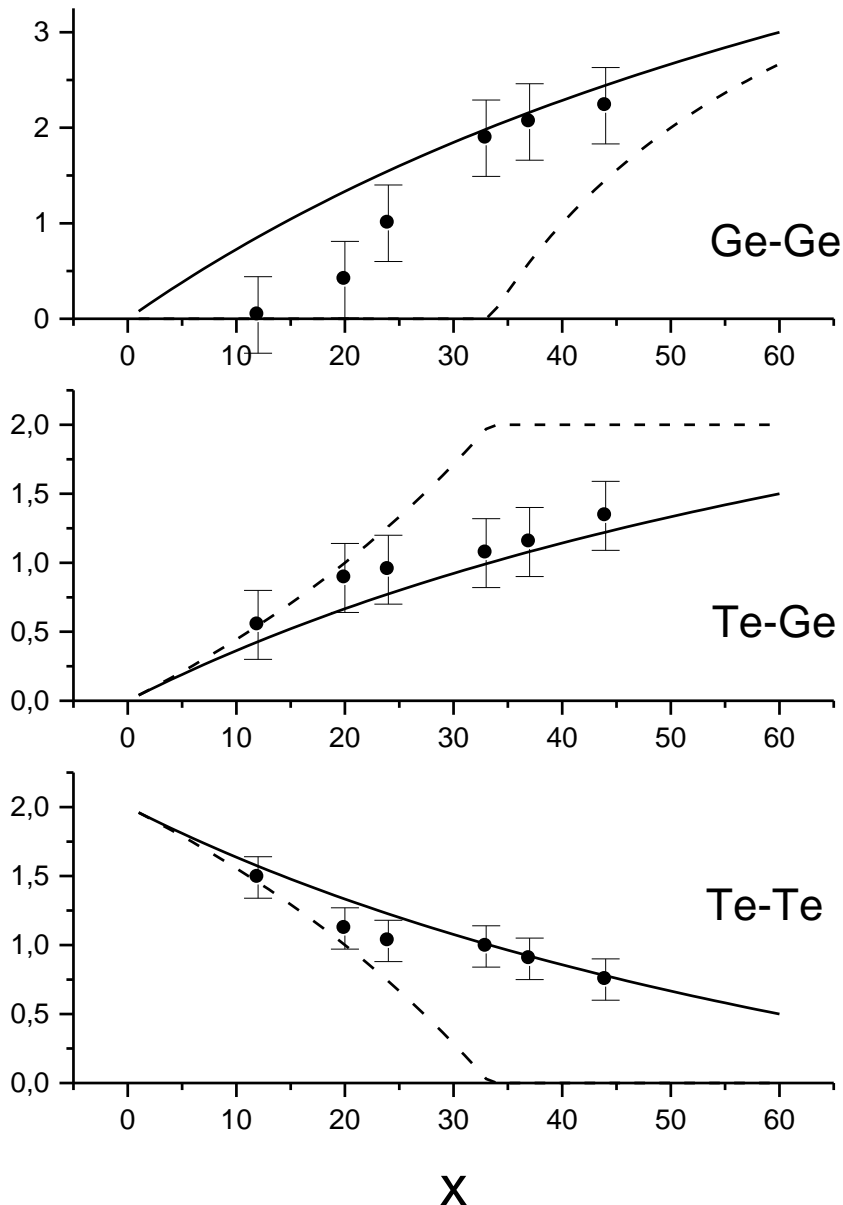
	N_{GeGe}	N_{GeTe}	N_{TeGe}	N_{TeTe}	N_{Ge}	N_{Te}	$\langle N \rangle$
$\text{Ge}_{12}\text{Te}_{88}$	0.04	3.96	0.54	1.49	4.00	2.03	2.27
$\text{Ge}_{20}\text{Te}_{80}$	0.41	3.59	0.90	1.11	4.00	2.01	2.41
$\text{Ge}_{24}\text{Te}_{76}$	1.00	2.99	0.95	1.03	3.99	1.98	2.47
$\text{Ge}_{33}\text{Te}_{67}$	1.89	2.14	1.07	0.99	4.03	2.06	2.71
$\text{Ge}_{37}\text{Te}_{63}$	2.06	1.96	1.15	0.90	4.02	2.05	2.78
$\text{Ge}_{44}\text{Te}_{56}$	2.23	1.71	1.34	0.75	3.94	2.09	2.91

N_i est défini comme $N_{ii}+N_{ij}$ ($i,j=\text{Ge},\text{Te}$) dans lequel $\langle N \rangle$ est égal à $c_{\text{Ge}}N_{\text{Ge}}+c_{\text{Te}}N_{\text{Te}}$



Collaboration avec Pal Jovari

Co-évaporation thermique: Structure d'amorphes $\text{Ge}_x\text{Te}_{100-x}$



■ Complètement ordonnée (ligne pointillée):

Minimisation de liaisons homopolaires

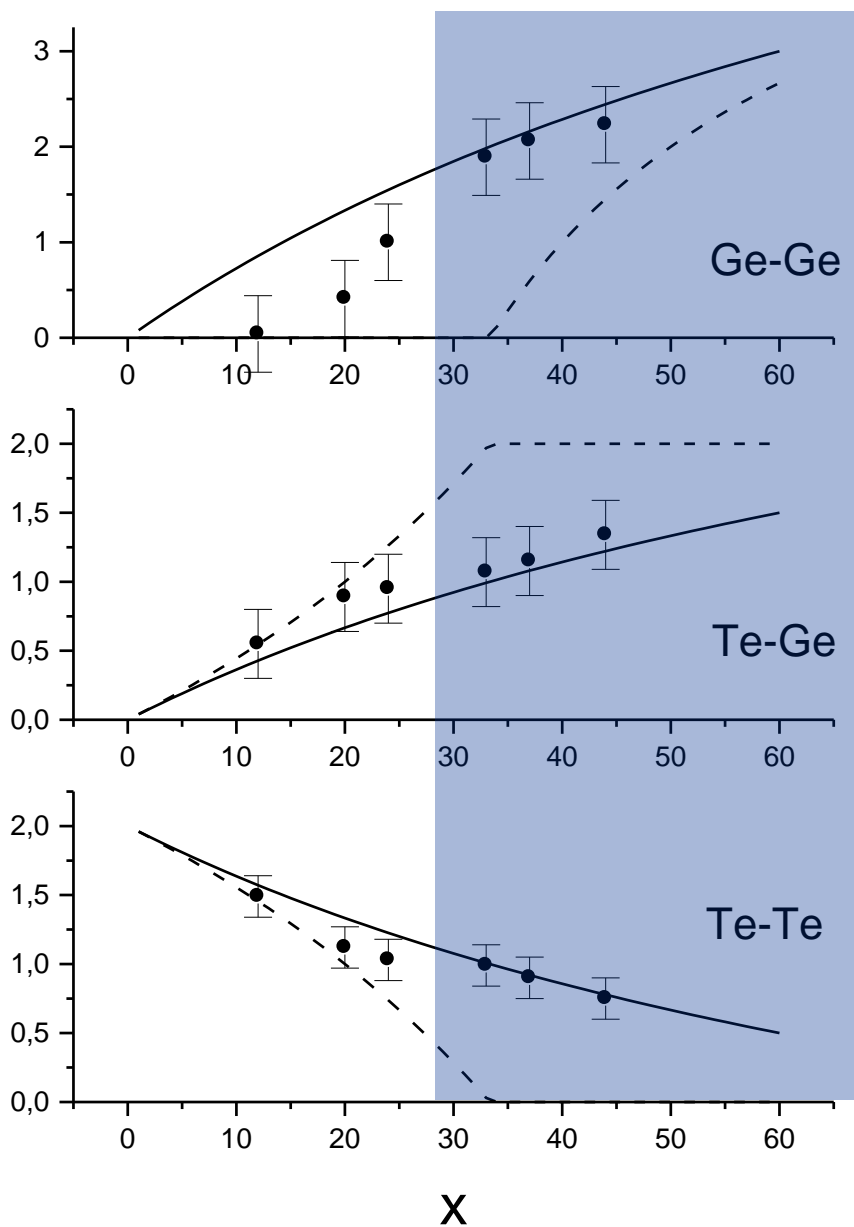
■ Complètement aléatoire (ligne continue):

$$N_{TeTe} = 2 \frac{100 - x}{100 + x} \quad N_{GeGe} = 4 \frac{2x}{100 + x}$$

$$N_{TeGe} = 2 - N_{TeTe}$$

L'ordre chimique est
faible dans les amorphes
 $\text{Ge}_x\text{Te}_{100-x}$

Co-évaporation thermique: Structure d'amorphes $\text{Ge}_x\text{Te}_{100-x}$



■ Complètement ordonnée (ligne pointillée):

Minimisation de liaisons homopolaires

■ Complètement aléatoire (ligne continue):

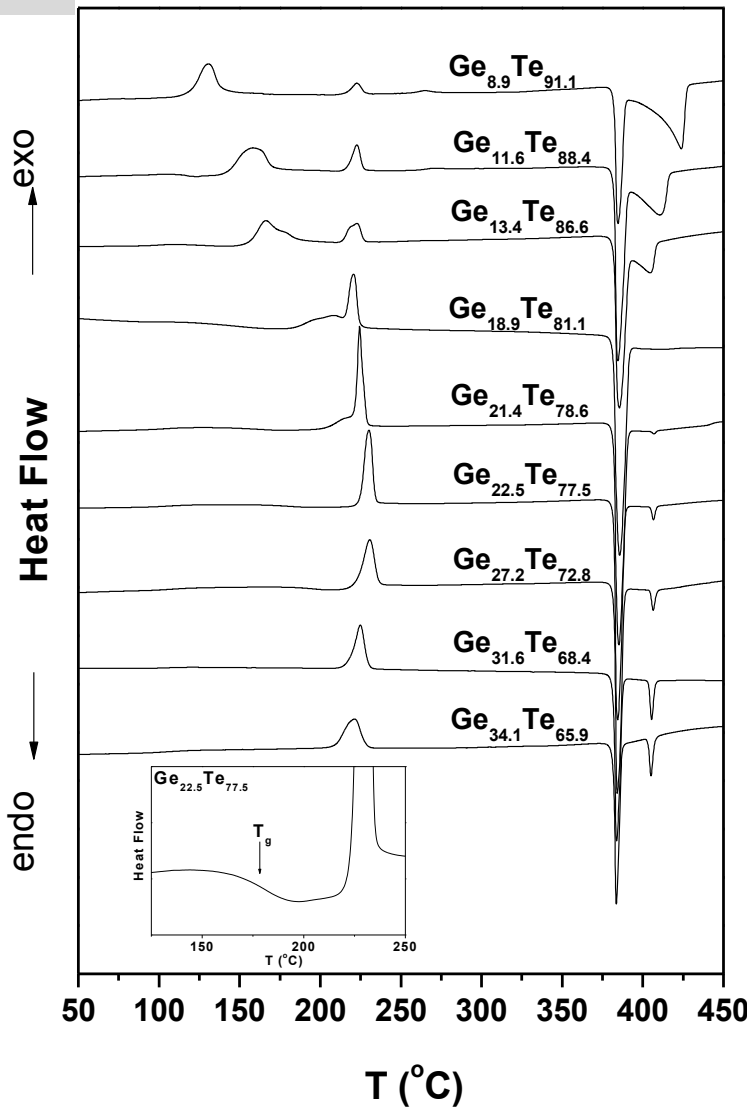
$$N_{TeTe} = 2 \frac{100 - x}{100 + x} \quad N_{GeGe} = 4 \frac{2x}{100 + x}$$

$$N_{TeGe} = 2 - N_{TeTe}$$

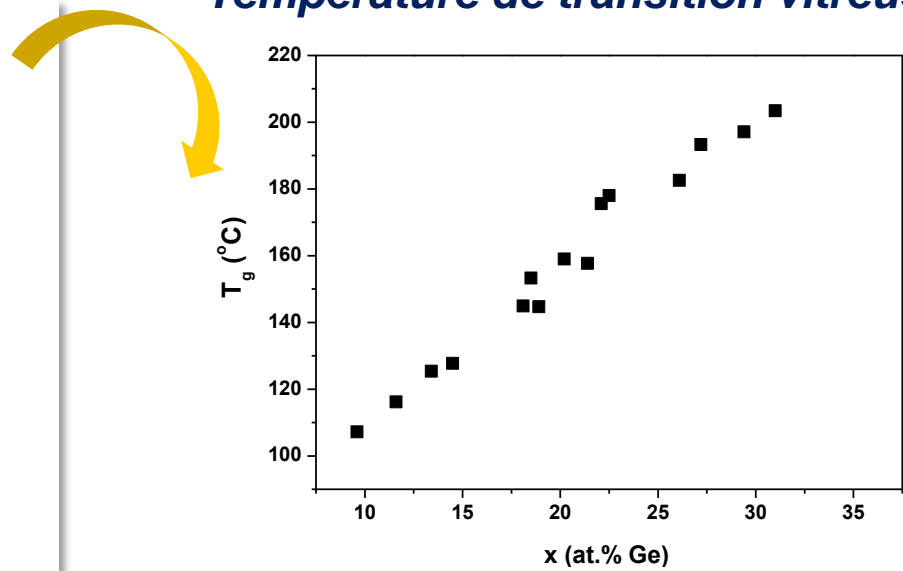
L'ordre chimique est
faible dans les amorphes
 $\text{Ge}_x\text{Te}_{100-x}$

Co-évaporation thermique: Propriétés thermiques

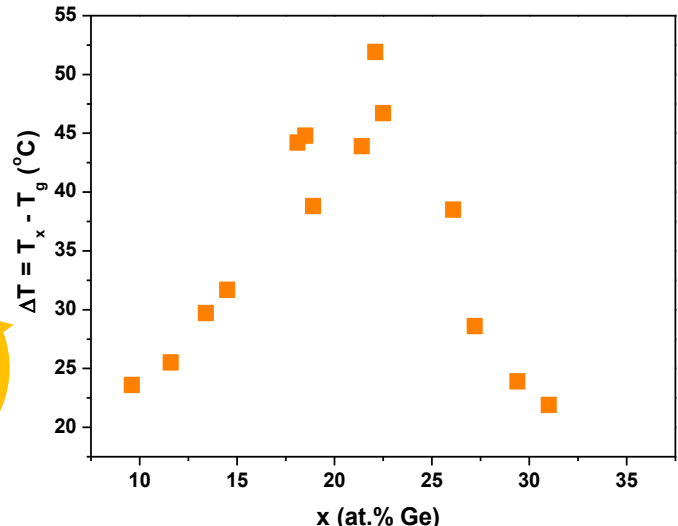
DSC



Température de transition vitreuse

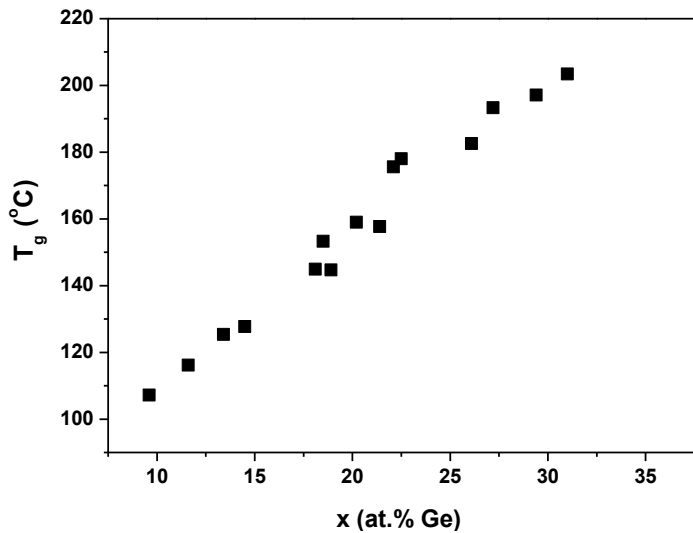


Stabilité thermique

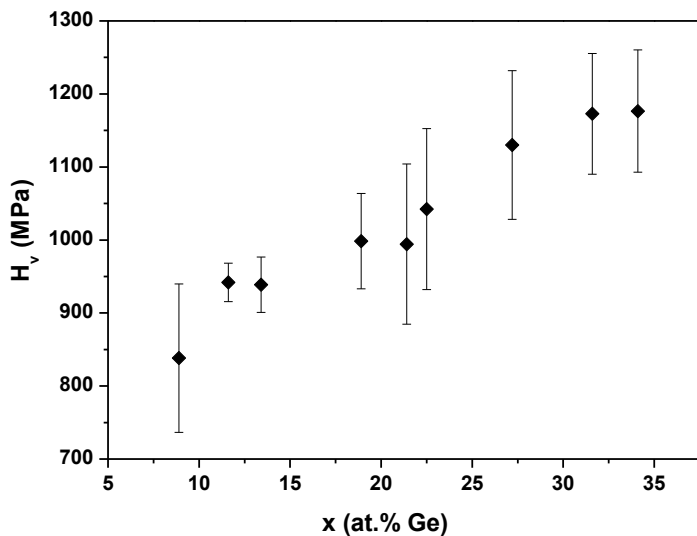


Relation entre la structure et les propriétés physico-chimiques

Température de transition vitreuse

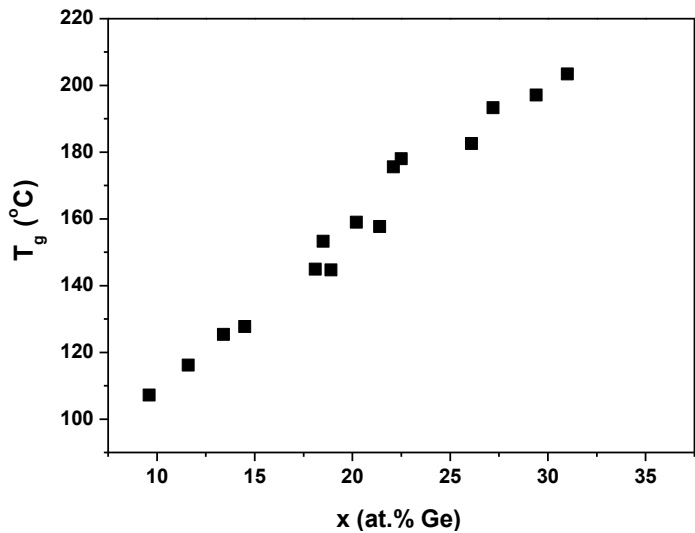


Micro-dureté Vickers

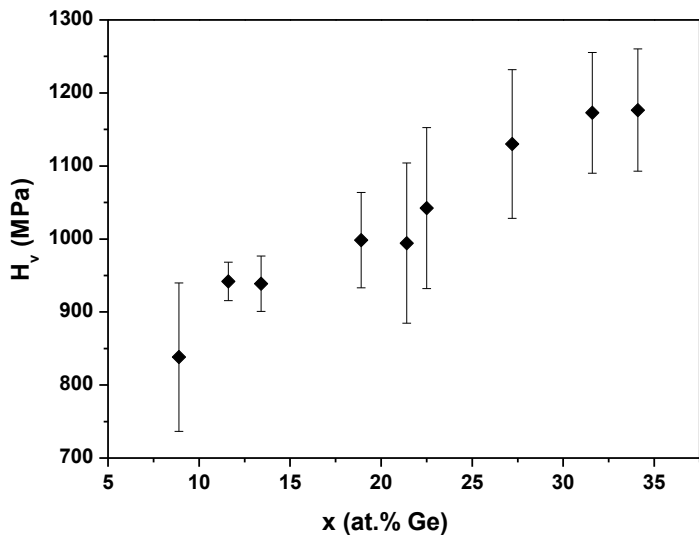


Relation entre la structure et les propriétés physico-chimiques

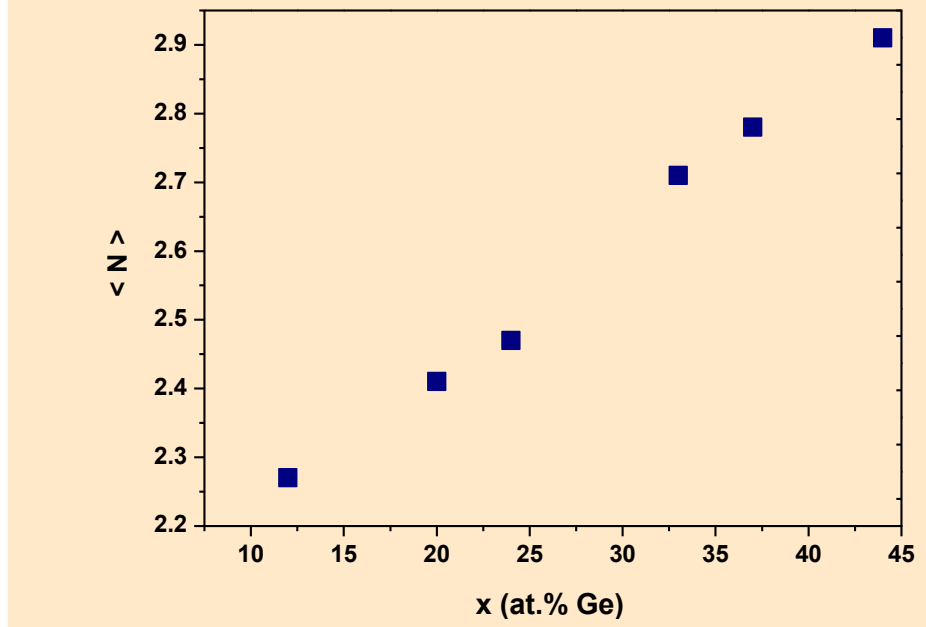
Température de transition vitreuse



Micro-dureté Vickers



Nombre de coordination



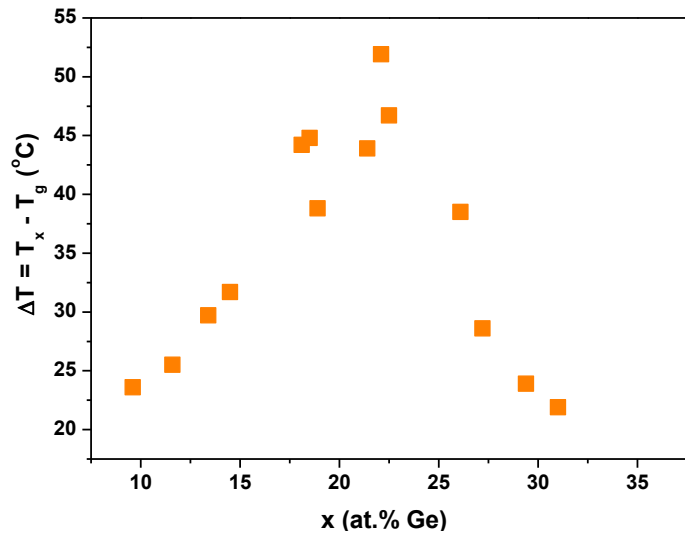
Augmentation des liaisons Ge-Te et Ge-Ge avec la teneur en Ge.



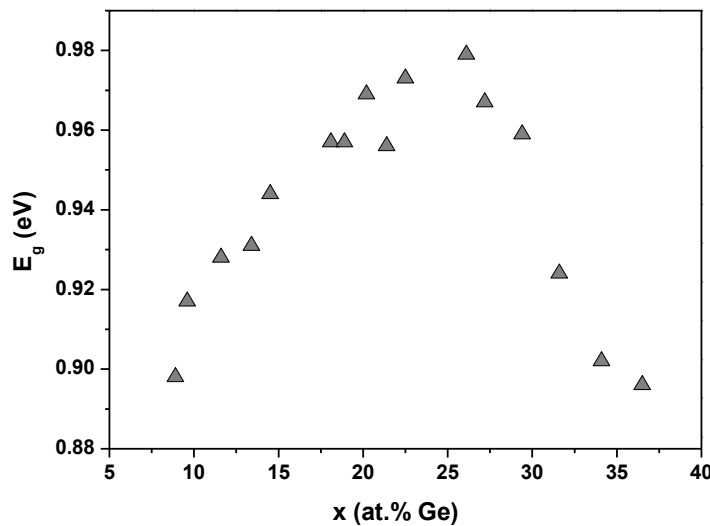
L'augmentation de la stabilité du réseau covalent induit une augmentation de la T_g et de la dureté.

Relation entre la structure et les propriétés physico-chimiques

Stabilité thermique

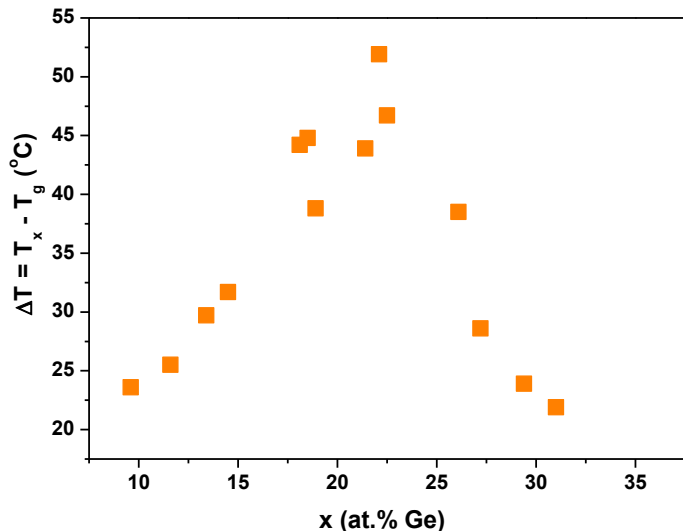


Gap optique

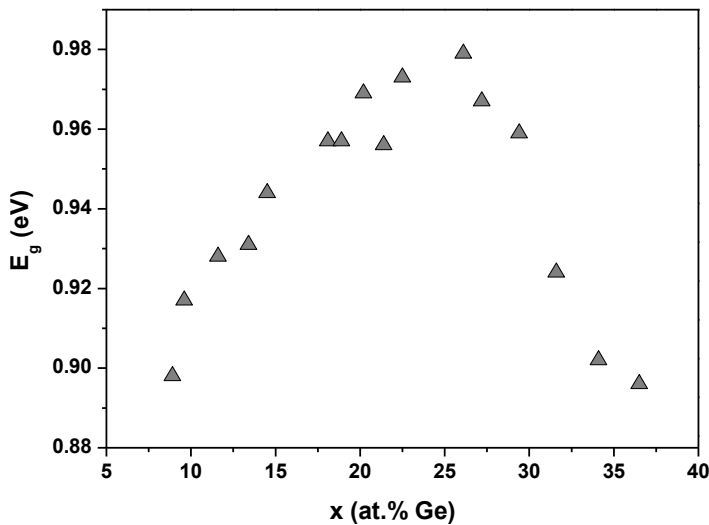


Relation entre la structure et les propriétés physico-chimiques

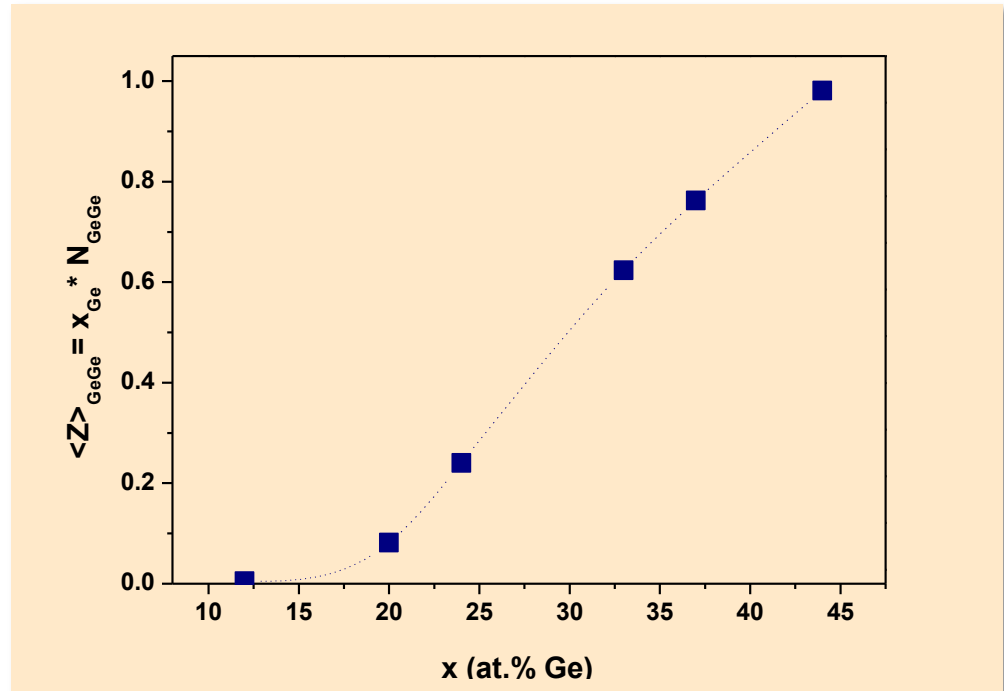
Stabilité thermique



Gap optique

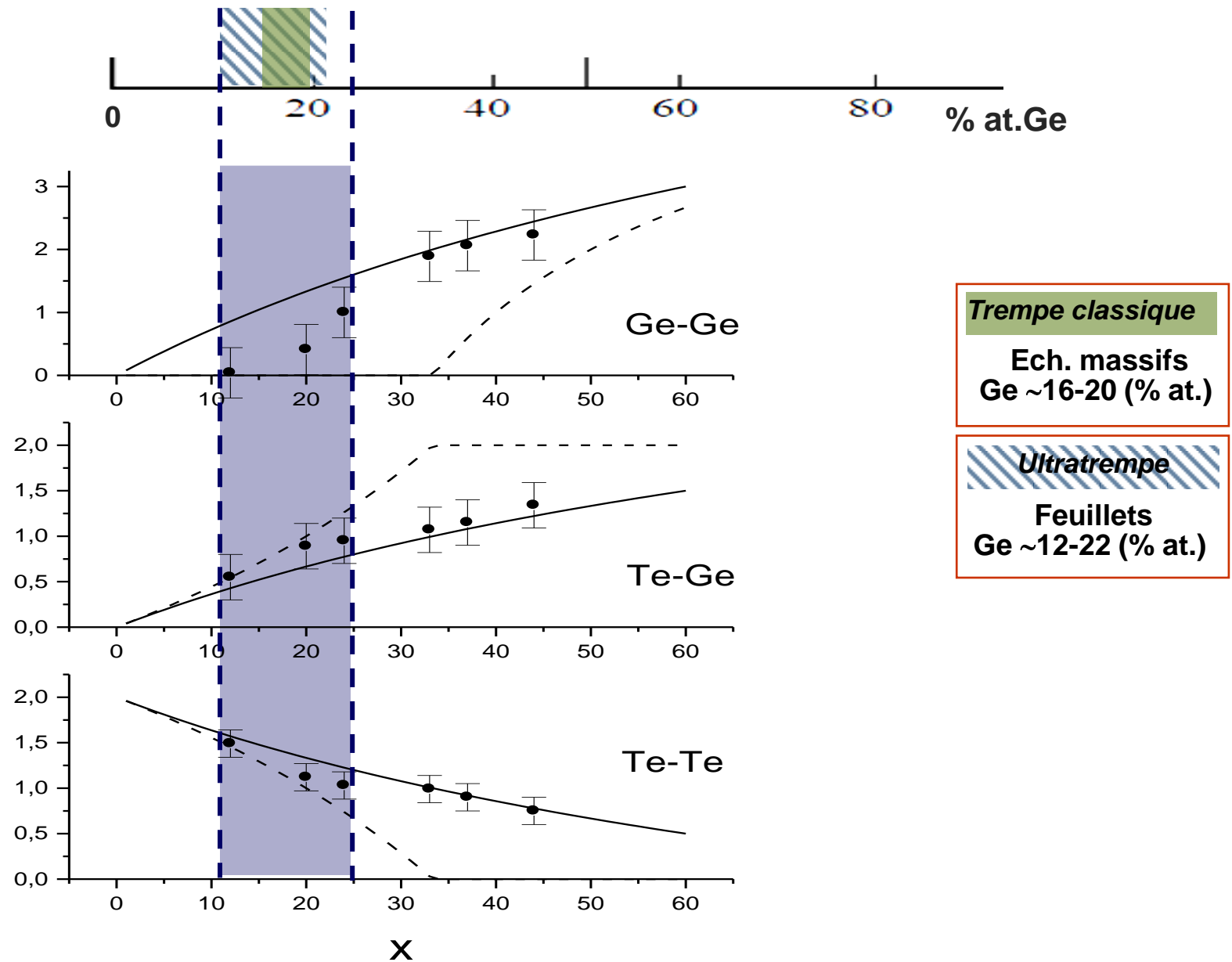


Nombre de liaisons homopolaires Ge–Ge

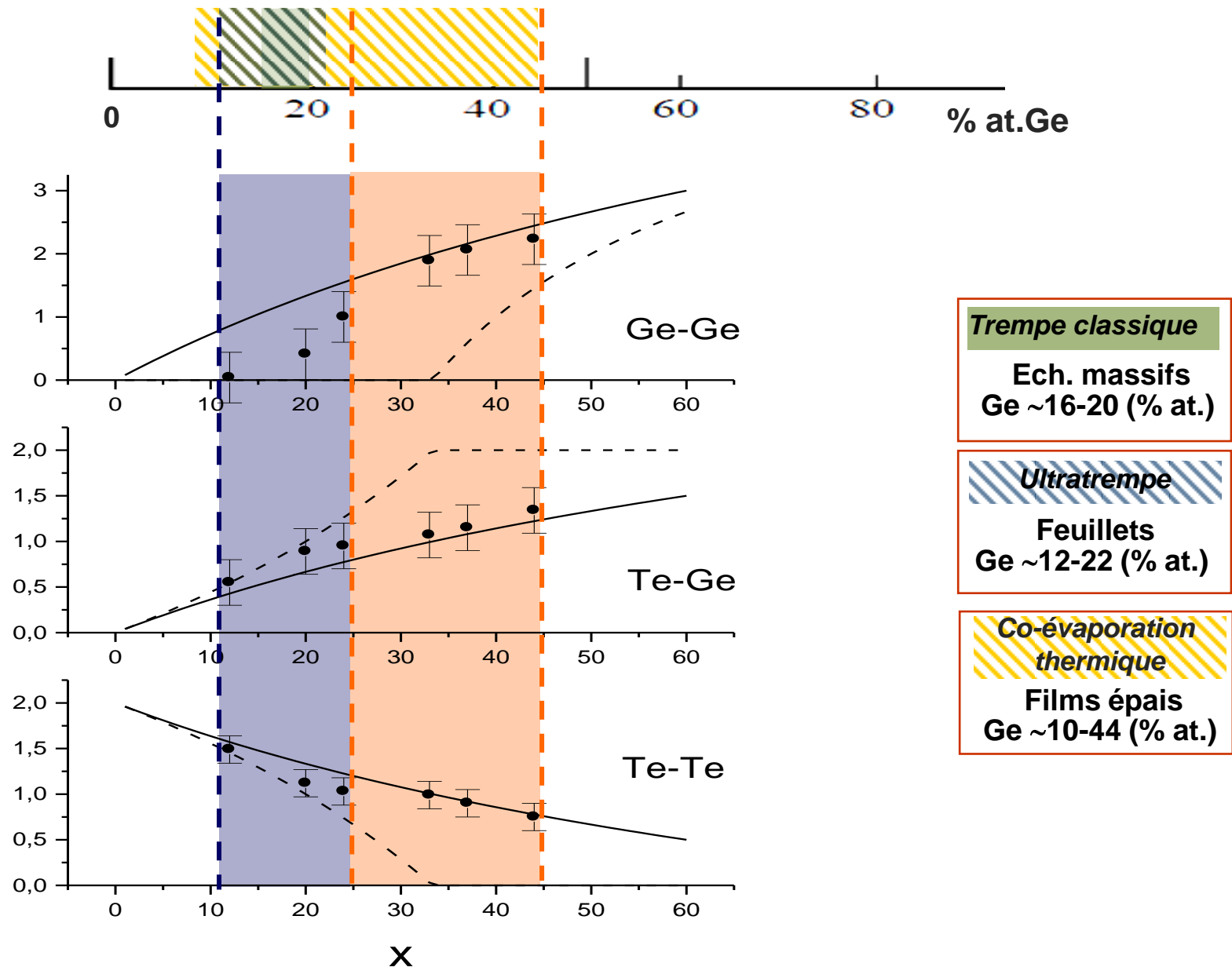


La position maximale de ΔT et E_g coïncide avec l'apparition de liaisons Ge-Ge.

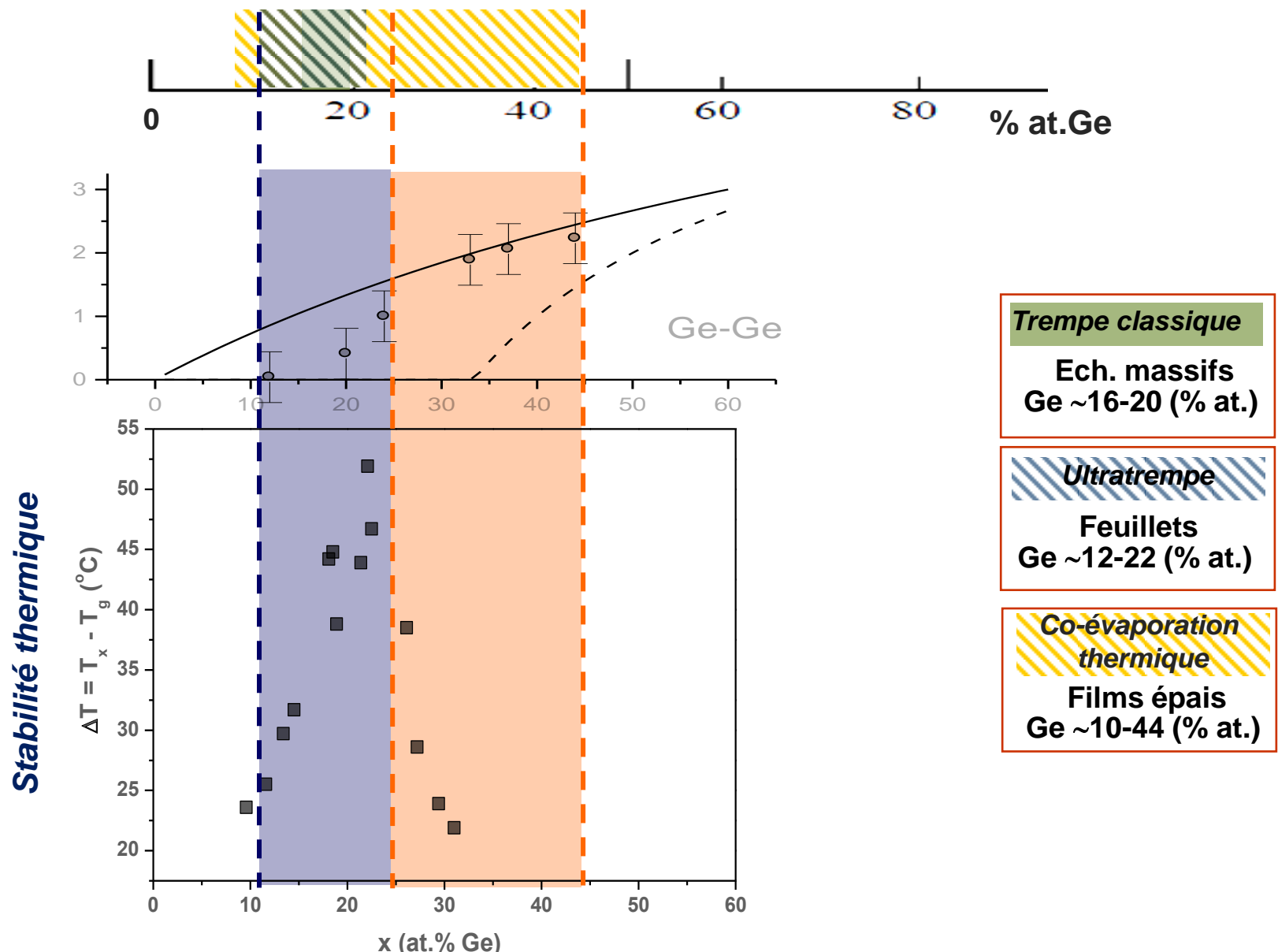
Relation entre la structure et les propriétés physico-chimiques



Relation entre la structure et les propriétés physico-chimiques



Relation entre la structure et les propriétés physico-chimiques



Conclusion



La structure des couches amorphes $\text{Ge}_x\text{Te}_{100-x}$ ($12 \leq x \leq 44$) a été étudiée par diffraction des Rayons X et EXAFS. Les données expérimentales ont été ajustées simultanément avec la technique de simulation Reverse Monte Carlo.

- Le Tellure et le Germanium ont respectivement deux et quatre voisins.
- Un nombre important de liaisons homopolaires Ge-Ge et Te-Te a été observé. Les liaisons Ge-Ge apparaissent à $x = 24$, tandis que les liaisons Te-Te sont trouvées dans toute la gamme de compositions étudiée.
- Les simulations suggèrent que les couches $\text{Ge}_x\text{Te}_{100-x}$ présentent un ordre chimique faible, surtout pour les compositions les plus riches en germanium.



Les propriétés physico-chimiques ont été étudiées par DSC, micro-dureté Vickers et spectroscopie UV-Vis-NIR.

- La température de transition vitreuse et la micro-dureté Vickers augmentent avec la teneur en Ge.
- La stabilité thermique et le gap optique montrent un maximum à environ $x=20-25$, ce qui correspond à l'apparition de liaisons Ge-Ge.

Remerciments

Joël Couve

Annelise Faivre

Ivan Kaban

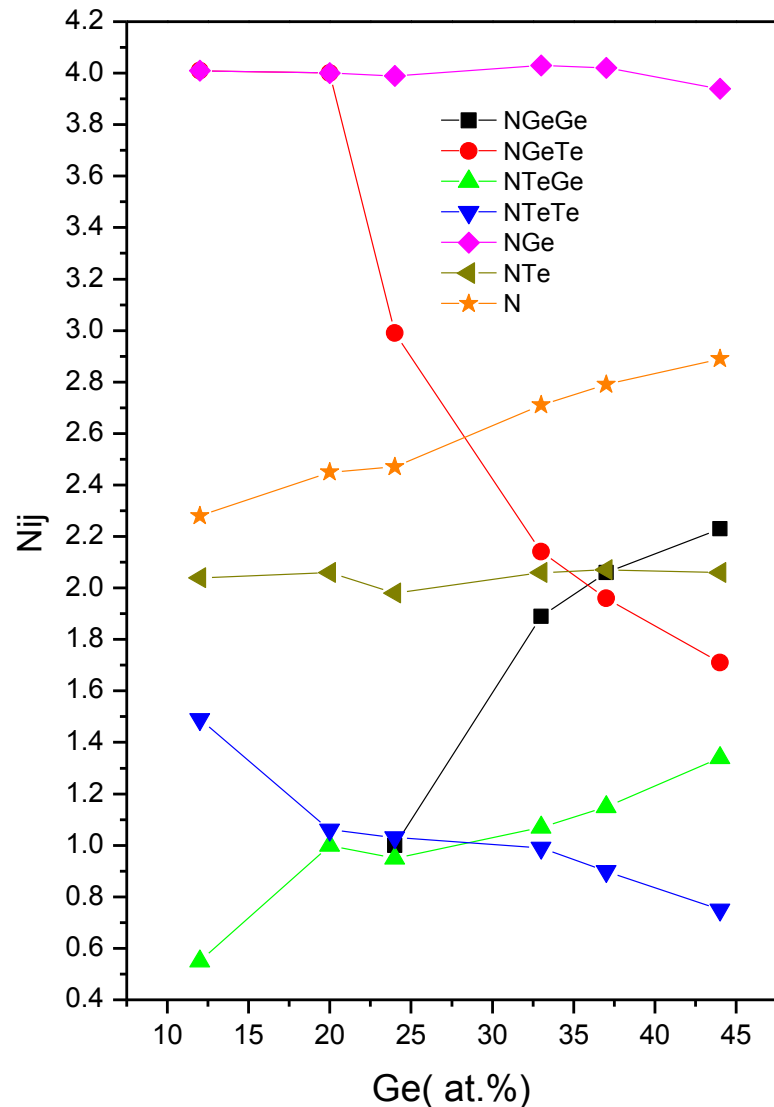
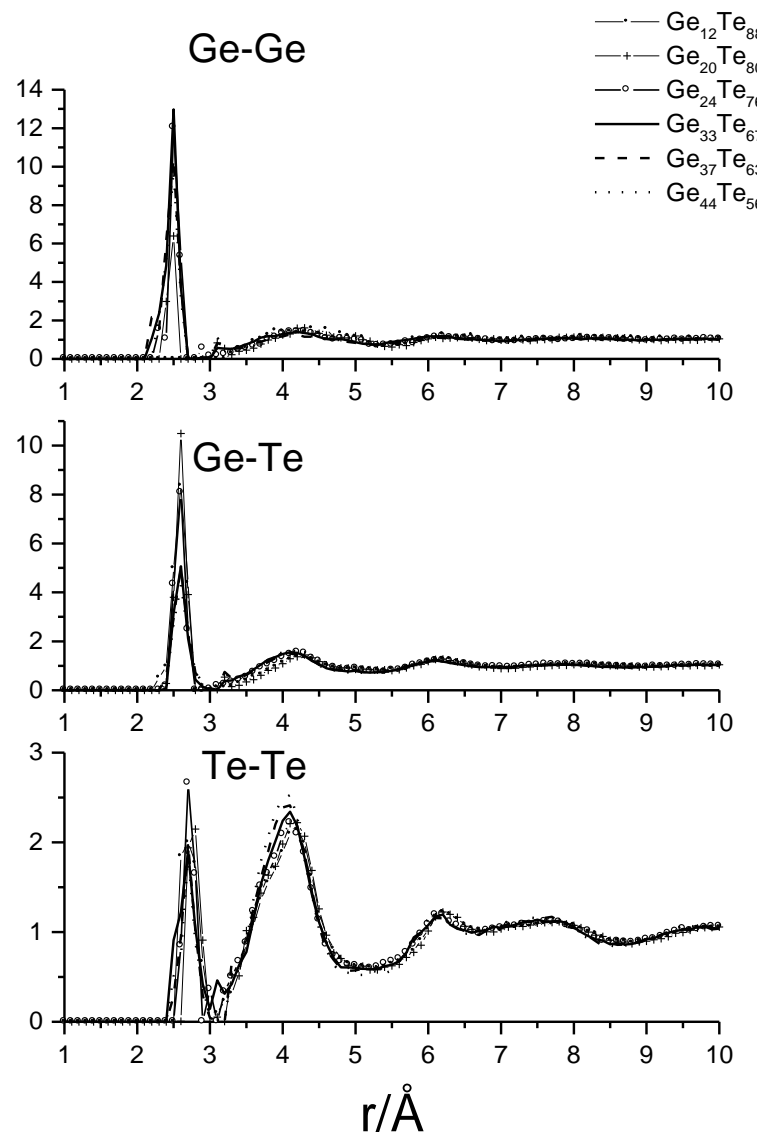
Claude Merlet

Caroline Vigreux

Merci beaucoup pour votre attention !!

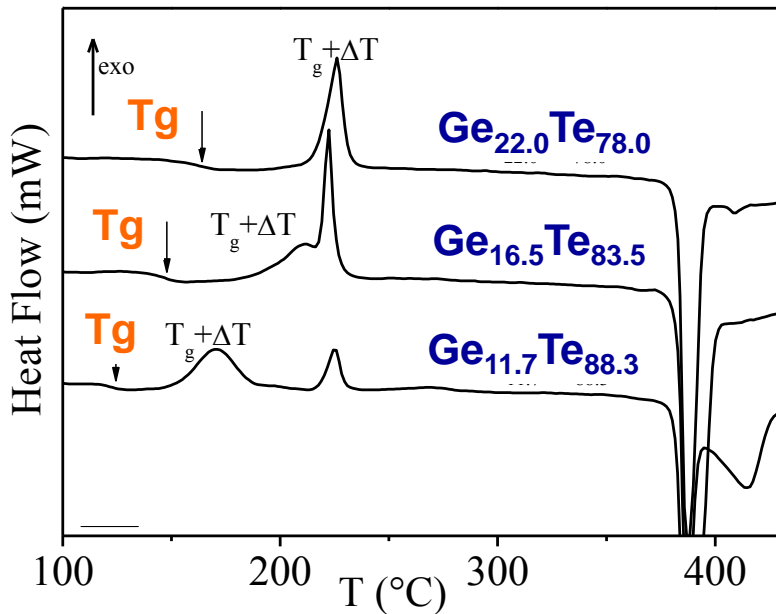
Annexes

Thermal co-evaporation: Structure of $\text{Ge}_x\text{Te}_{100-x}$ alloys

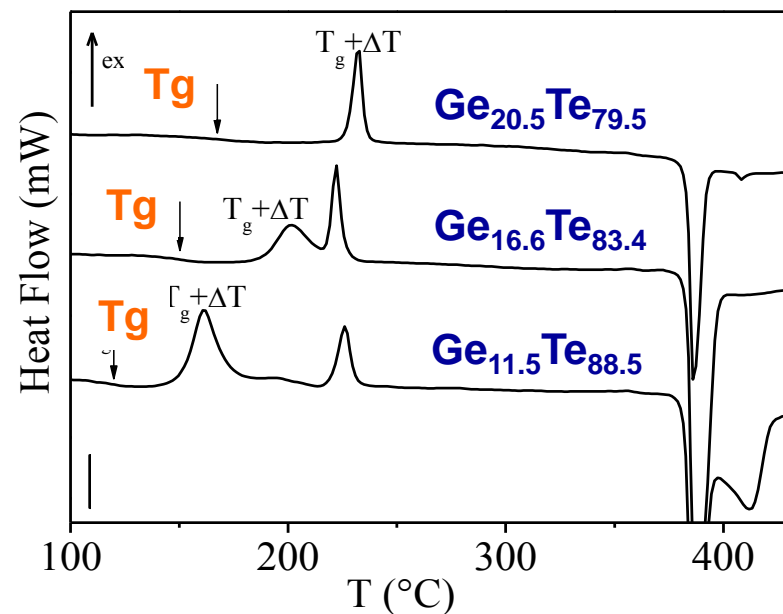


Ultratrempe vs. co-évaporation thermique

■ Calorimétrie Différentielle à Balayage



Verres massifs

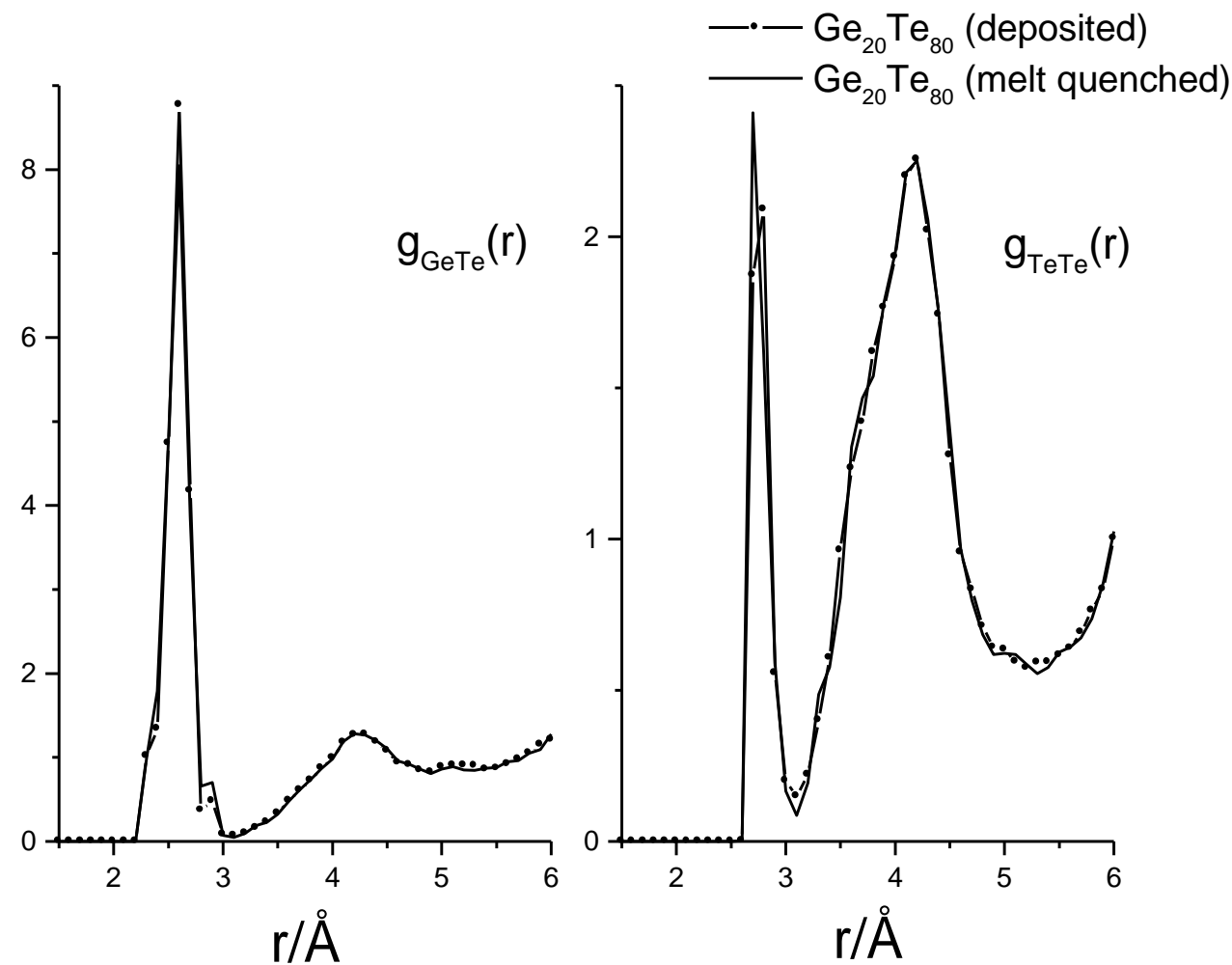


Films amorphes

→ Comportement similaire pour les échantillons massifs et films

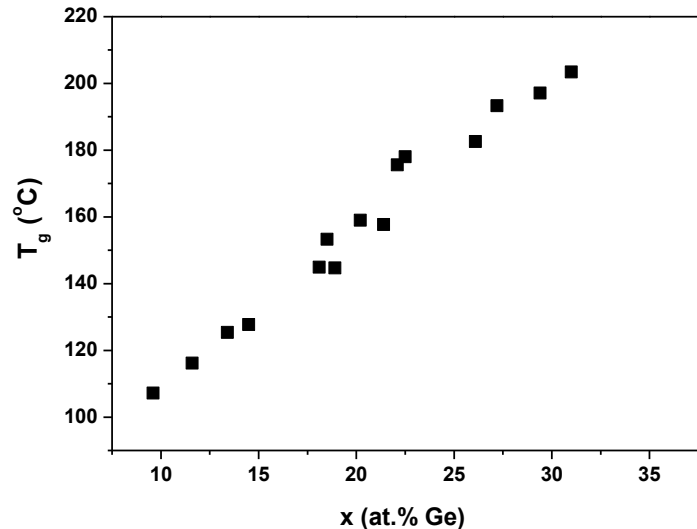
→ Ge ↗ → T_g ↗

Ultratrempe vs. co-évaporation thermique



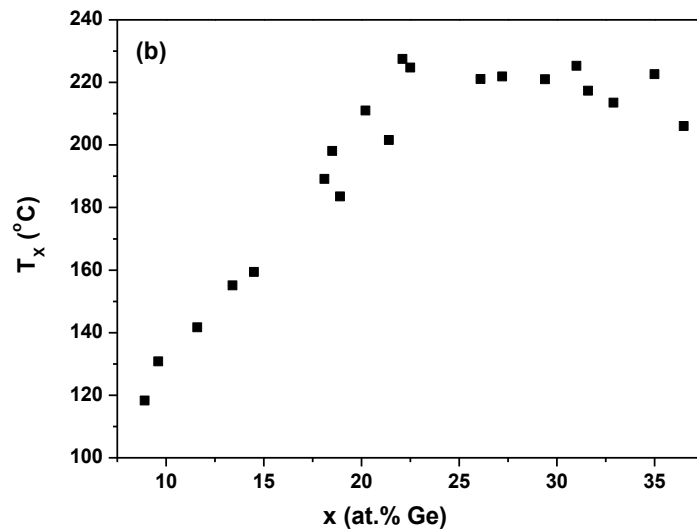
Co-évaporation thermique: Propriétés thermiques

Température de transition vitreuse

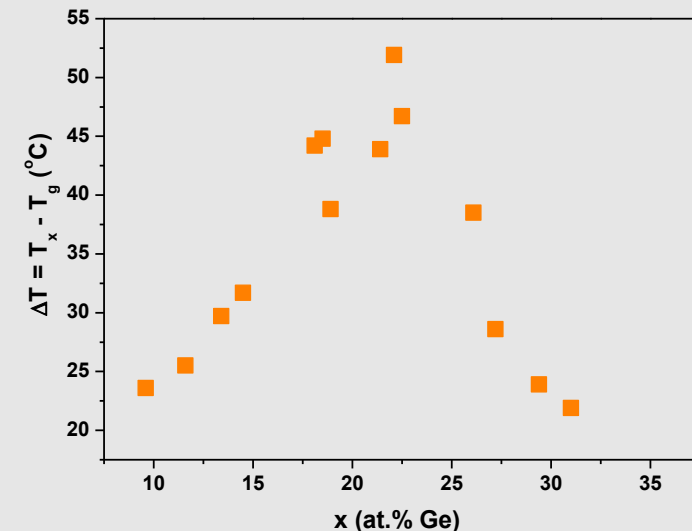


DSC

Début de la cristallisation

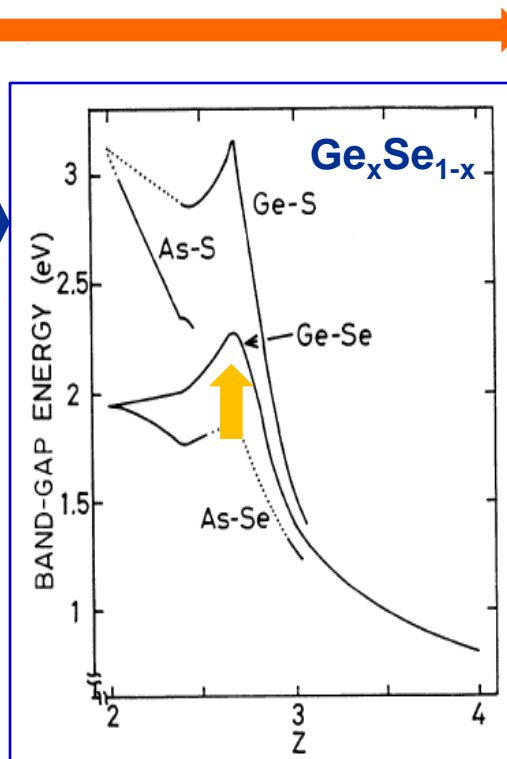
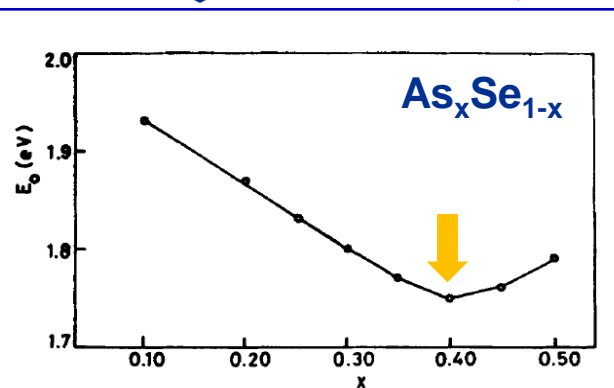
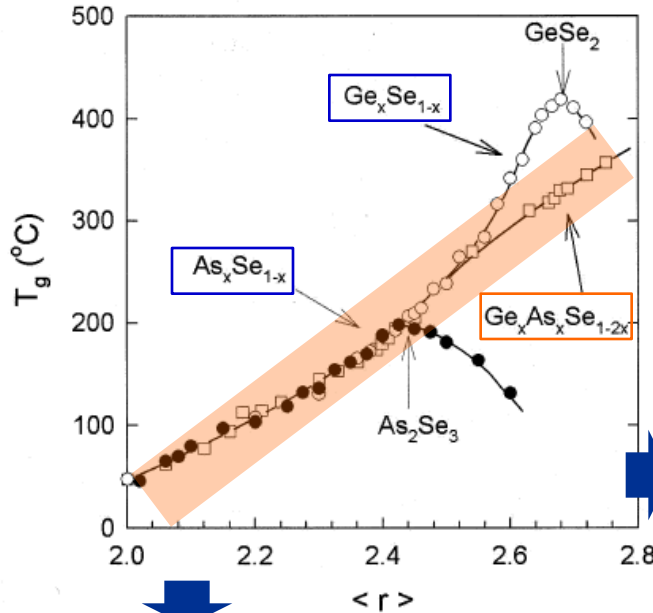


Stabilité thermique

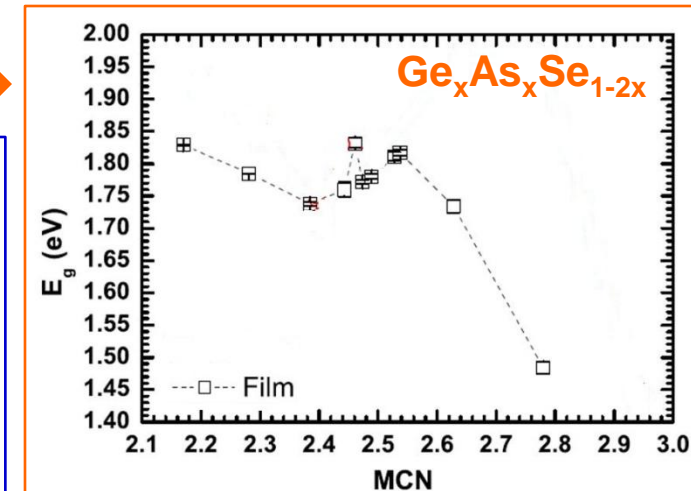


Relation entre la structure et les propriétés physico-chimiques

Nano-séparation de phase ?



Une augmentation monotone de la T_g , qui est une mesure intrinsèque de la connectivité du réseau, est compatible avec l'existence de verres homogènes.



P. Boolchand, D. G. Georgiev, T. Qu, F. Wang, L. Cai, and S. Chakravarty, C. R. Chimie 5 (2002) 713.

K. N. Madhusoodanan, J. Philip, J. Phys. 33(6) (1989) 705.

Tanaka K., Phys. Rev. B39 (1989) 1270.

D.A.P. Bulla, R.P. Wang, A. Prasad, A.V. Rode, S.J. Madden, B. Luther-Davies, Appl Phys A 96 (2009) 615

Thermal co-evaporation: Structure of $\text{Ge}_x\text{Te}_{100-x}$ alloys

High-energy X-ray diffraction (XRD) measurements were performed at the BW5 wiggler beamline [18] of the DORIS III positron storage ring operated at the HASYLAB/DESY (Hamburg, Germany). The energy of monochromatic synchrotron radiation was 100 keV ($\lambda=0.124$ Å). Powder samples were placed into thin walled (20μ) **quartz capillaries with outer diameter of 2 mm**. The incident monochromatic beam cross section was set to 1×1 mm². The illumination time was around 15s depending on the sample scattering power. About five independent scans on each sample were averaged to improve counting statistics. Scattered X-ray photons were collected using a MAR345 imaging plate detector (2300×2300 pixels, with pixel size of 150×150 μm^2). The distance between the sample and detector was adjusted to 45 cm in order to reach high-Q range ($Q=4\pi \sin(\theta)/\lambda$) up to ~18 Å⁻¹.

The EXAFS measurements at the Ge and Te K-absorption edges were carried out at beamline X of Hasylab. Spectra were collected in the transmission mode using fixed exit double-crystals Si(111) and Si(311). The intensities before and after the sample as well as after the reference samples were recorded by three ionization chambers filled with Ar (~10% absorption), Ar/Kr mixture (~50% absorption) and Kr (~100% absorption), respectively. The X-ray absorption cross sections $m(E)$ were converted to $c(k)$ by standard procedures of data reduction using the program VIPER.

Thermal co-evaporation: Structure of $\text{Ge}_x\text{Te}_{100-x}$ alloys

Reverse Monte Carlo modelling

The average coordination number of Ge is below 4 while that of Te is usually somewhat above 2 it is reasonable to assume that the majority of atoms obey the ‘8-N’ rule.

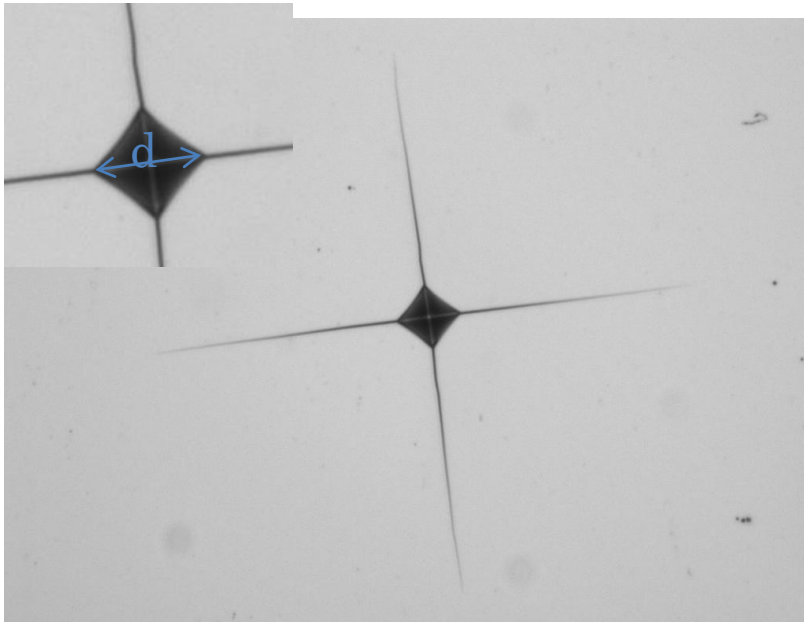
Nearest neighbour distances (in Å)

	r_{GeGe}	r_{GeTe}	r_{TeTe}
$\text{Ge}_{17}\text{Te}_{83}$	2.55	2.59	2.73
$\text{Ge}_{24}\text{Te}_{76}$	2.53	2.58	2.72
$\text{Ge}_{33}\text{Te}_{67}$	2.49	2.59	2.68
$\text{Ge}_{37}\text{Te}_{63}$	2.48	2.59	2.70
$\text{Ge}_{44}\text{Te}_{56}$	2.48	2.60	2.71
$\text{Ge}_{15}\text{Te}_{85}$	----	2.60	2.75
$\text{Ge}_2\text{Sb}_2\text{Te}_5$	2.48	2.60	----
$\text{Ge}_{20}\text{Te}_{73}\text{I}_7$	----	2.60	2.70
$\text{Ge}_{20}\text{Te}_{70}\text{Se}_{10}$	----	2.60	2.73
$\text{Ge}_{11}\text{Te}_{78}\text{Ga}_{11}$	----	2.60	2.80

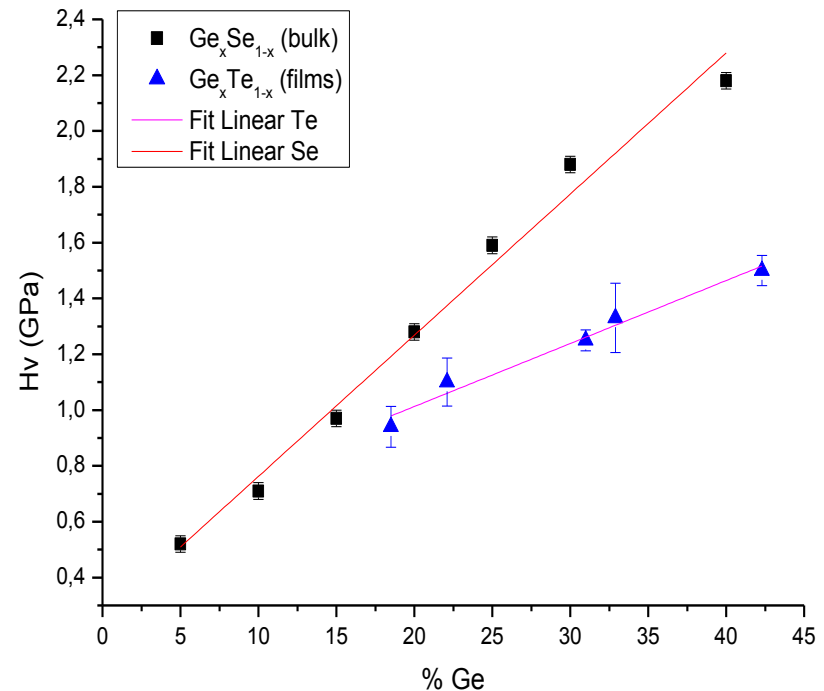
N_i is defined as $N_{ii} + N_{ij}$ ($i,j = \text{Ge}, \text{Te}$) while $\langle N \rangle$ is equal to $c_{\text{Ge}}N_{\text{Ge}} + c_{\text{Te}}N_{\text{Te}}$

Thermal co-evaporation: Structure of $\text{Ge}_x\text{Te}_{100-x}$ alloys

Hardness (Vickers Method)



Ge₁₈Te₈₂

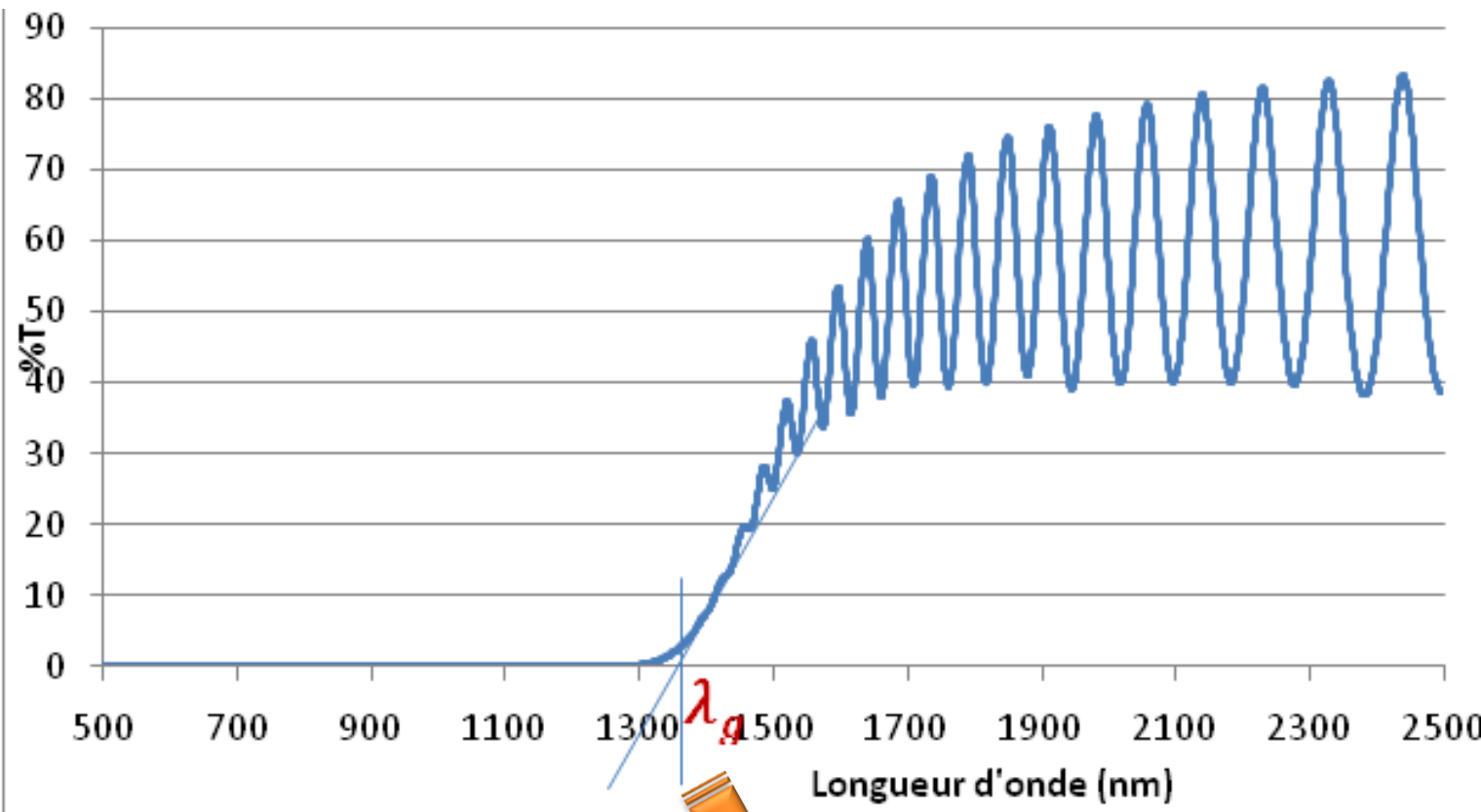


$$Hv = 1,854 \times \frac{F}{d^2}$$

where F (in newtons) is the load applied on the indenter and d (in milimeters) is the mean size of the two diagonals.

Thermal co-evaporation: Structure of $\text{Ge}_x\text{Te}_{100-x}$ alloys

Optical Proprieties – UV-Vis-NIR spectroscopy



$$Eg = \frac{h c}{\lambda_g}$$

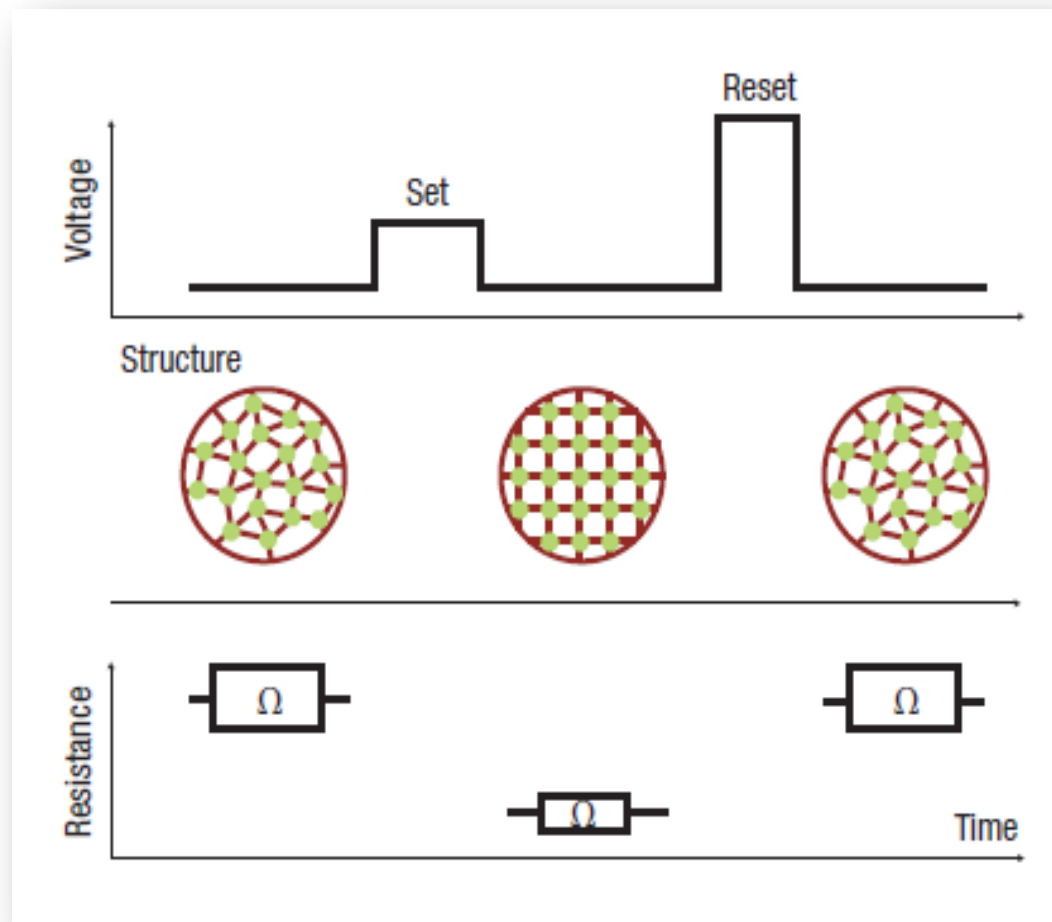
E_g : énergie de gap en eV

h : constante de Planck en $\text{eV}\cdot\text{s}^{-1}$

c : vitesse de la lumière en $\mu\text{m}\cdot\text{s}^{-1}$

λ_g : longueur d'onde en μm

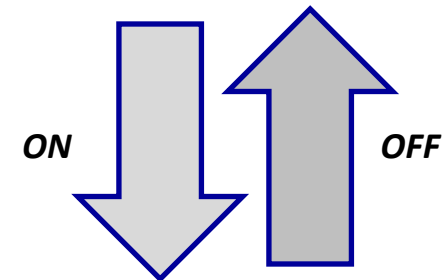
PC-RAM optical memories (DVD, ...): Ge-Sb-Te systems



M. Wuttig, *Nature Materials* 4 (2005) 265.

Electrical device

Amorphous state
high-resistance



Crystalline state
low-resistance

- **Unipolar resistive switching:** write-in and erasure occur under the same voltage polarity.

Relationship between structure and physical properties

Topological model: Bond Constraint Model (BCT)

Comparison between the **number of topological constraints** per atoms N_c , composed by bond-streching force ($\langle N \rangle / 2$) and bond-bending force ($2\langle N \rangle - 3$) with the **number of degrees of freedom** per atom ($N_d = 3$).

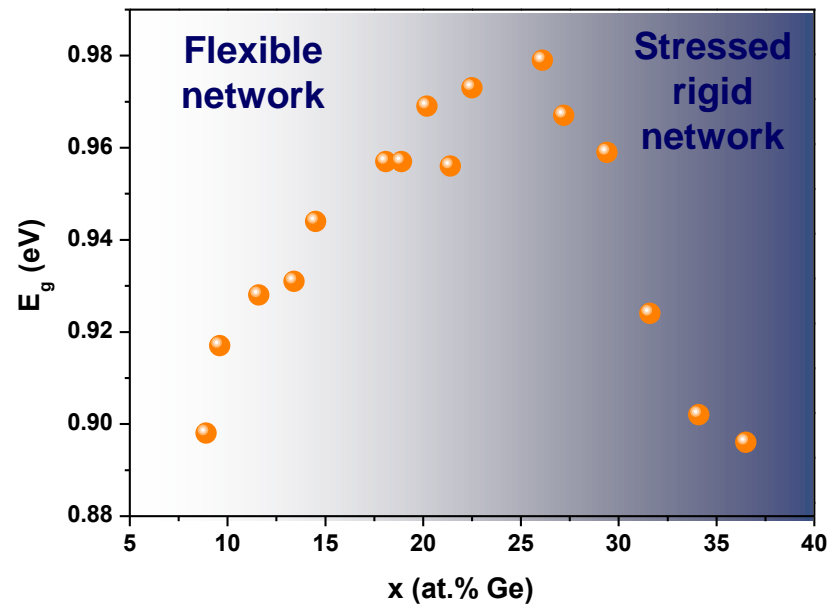
- $N_c < N_d$ **Flexible network**
- $N_c = N_d$ **Isostatic network** $\rightarrow N_c = \langle N \rangle / 2 + 2\langle N \rangle - 3 = 5\langle N \rangle / 2 - 3 = N_d = 3$
- $N_c > N_d$ **Stressed rigid network** $\rightarrow \langle N \rangle = 2.4$

In $\text{Ge}_x\text{Te}_{1-x}$: $\langle N_{\text{Ge}} \rangle \approx 4$ and $\langle N_{\text{Te}} \rangle \approx 2$

$$\begin{aligned} \langle N \rangle &= x \cdot \langle N_{\text{Ge}} \rangle (1-x) \cdot \langle N_{\text{Te}} \rangle \\ &= x \cdot 4 + (1-x) \cdot 2 = 2.4 \end{aligned}$$

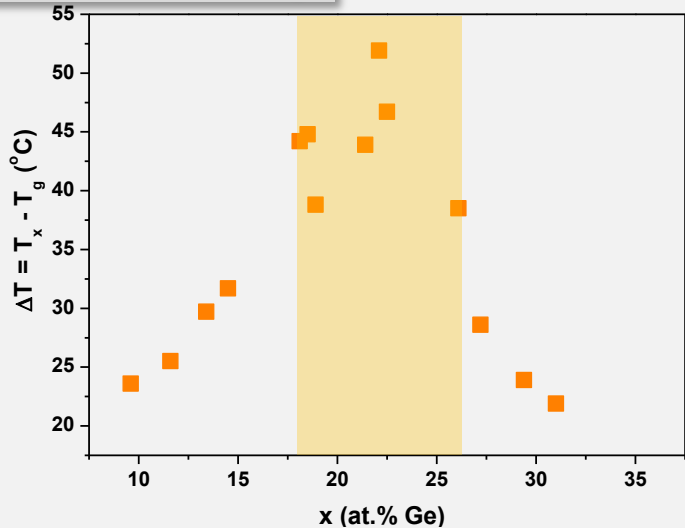
$$x = 0.2 \quad (= 20 \text{ at. \% Ge})$$

The optical band gap shows a maximum in the composition range where the network structure goes through the flexible to rigid transition.



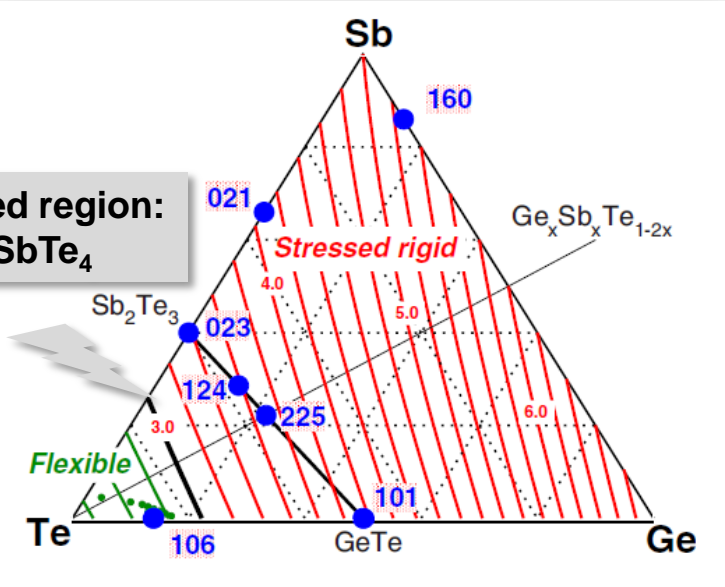
Co-thermal evaporation: Structure of $\text{Ge}_x\text{Te}_{100-x}$ alloys

Thermal Stability

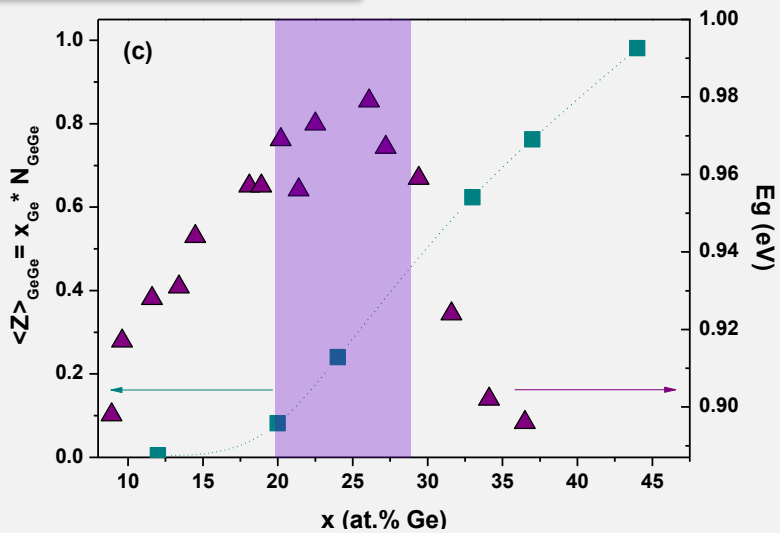


*Application of rigidity theory
(Maxwell constraint) to Ge-Sb-Te system*

Fully relaxed region:
 $\text{GeTe}_4\text{-SbTe}_4$



Optical band gap



Micoulaut *et al.*, Phys. Rev. B (2009)



Etude des propriétés physico-chimiques en fonction de la composition des tellurures amorphes